

暗黒物質は未知の素粒子か？

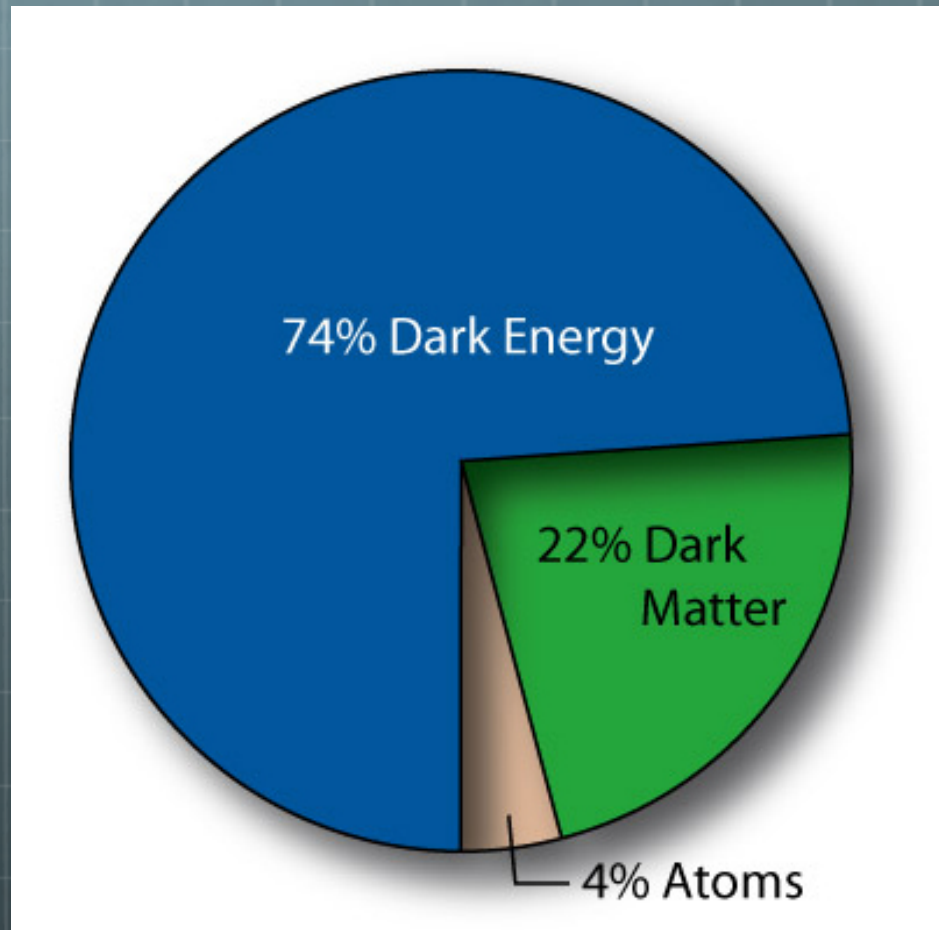
久野純治(名古屋大学)

第11回高エネルギー連続研究会「多波長で探る高エネルギー現象」
2011年8月9日(火) -- 8月11日(木) 早稲田大学55号館N棟大会議室

今日の内容

- 暗黒物質と素粒子模型
- 暗黒物質の正体を探る
 - 加速器による直接生成
 - 地上での直接探索
 - 宇宙線観測による間接探索
- まとめ

宇宙の組成



- 宇宙の暗黒物質の正体がなにであるかは物理におけるBig mysteryの1つ。
- **Weakly-Interacting Massive Particle (WIMP)**は冷たい暗黒物質の有力候補。

暗黒物質の熱的残存仮説

WIMP数密度 n のBoltzmann 方程式

$$\frac{dY}{dx} = -\frac{s\langle\sigma v\rangle}{xH}(Y^2 - Y_{EQ}^2)$$

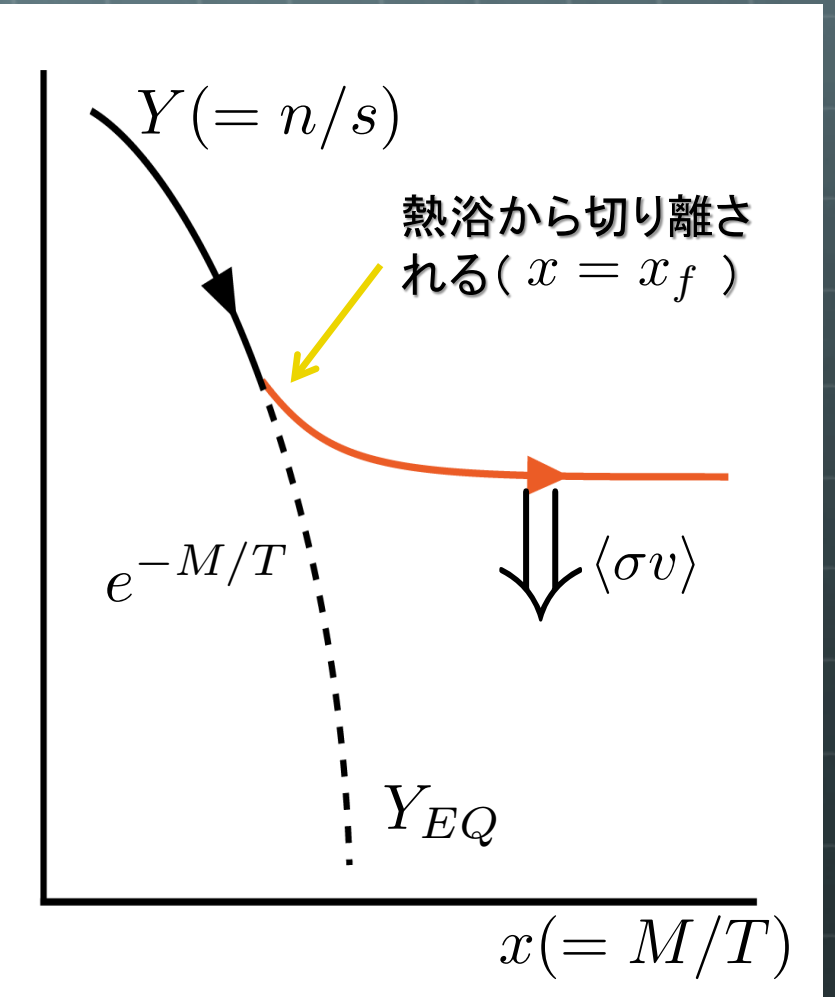
$$(Y \equiv n/s, \quad x \equiv M/T)$$

温度が $\sim M/20$ ($x_f \simeq 20$) 以下になると、WIMPは熱浴から切り離される。

$$Y_\infty \propto x_f / \langle\sigma v\rangle$$

WIMP対消滅がS波過程ならば、

$$\Omega_{DM} = 0.23 \times \left(\frac{3 \times 10^{-26} \text{cm}^3/\text{s}}{\langle\sigma v\rangle} \right)$$



TeV

- ⌚ 100GeVから1TeV程度の質量をもつWIMPは暗黒物質のよい候補

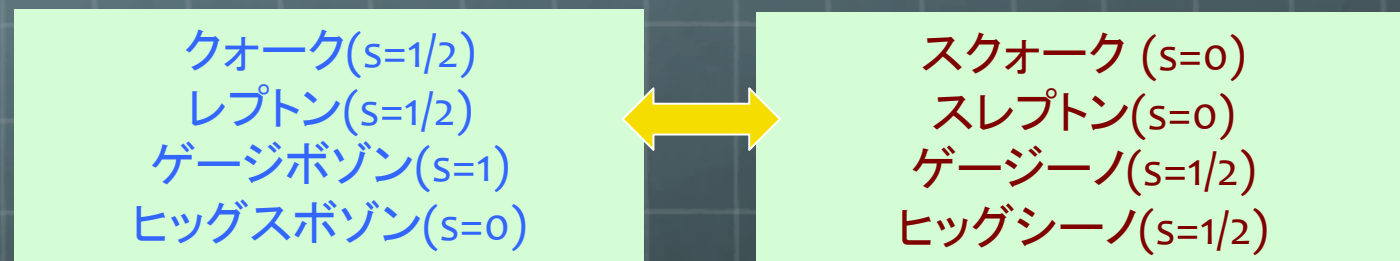
$$\sigma v \sim \pi \frac{\alpha^2}{M^2} = \pi \frac{(1/127)^2}{(300\text{GeV})^2} = 3 \times 10^{-26} \text{cm}^3/\text{s}$$

- ⌚ 素粒子標準模型のヒッグスセクターの持つ「自然さの問題」から100GeVから1TeV程度のエネルギー階級に new physics があることを期待。

$$m_h^2|_{\text{phys}} = m_h^2|_{\text{bare}} + \begin{array}{c} \text{dashed circle} \\ \text{---} \end{array} + \begin{array}{c} \text{elliptical loop} \\ \text{---} \end{array} + \dots$$
$$\sim O(\Lambda_{\text{UV}}^2) \quad \sim O(\Lambda_{\text{UV}}^2)$$

超対称標準模型

- 超対称性: ボゾンとフェルミオンの対称性
- 超対称標準模型: 超対称粒子の導入

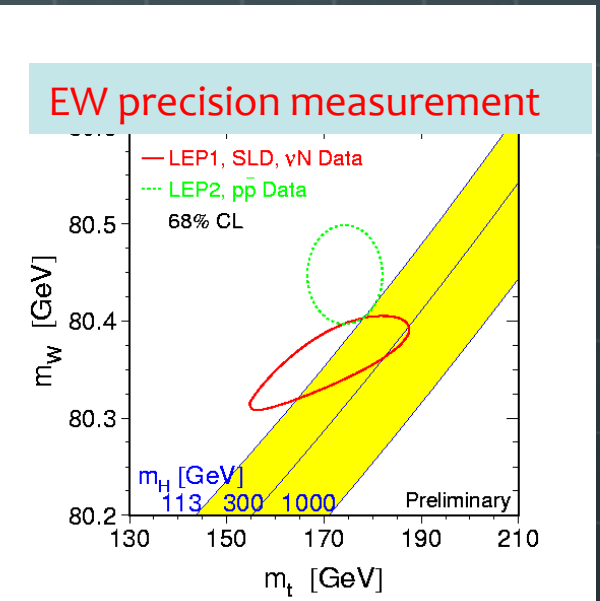
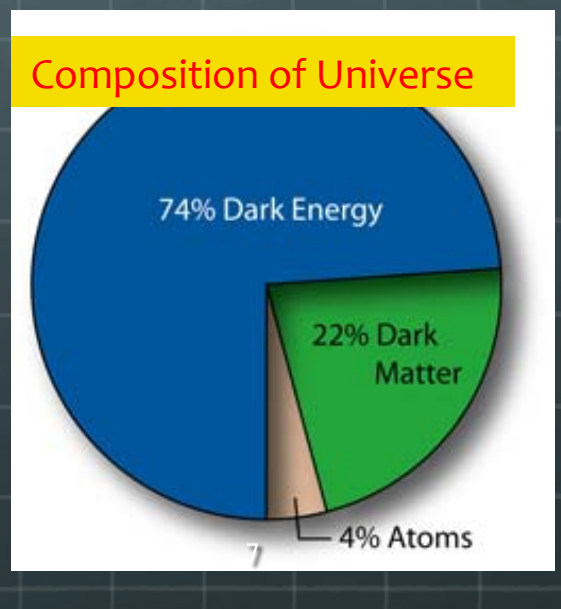
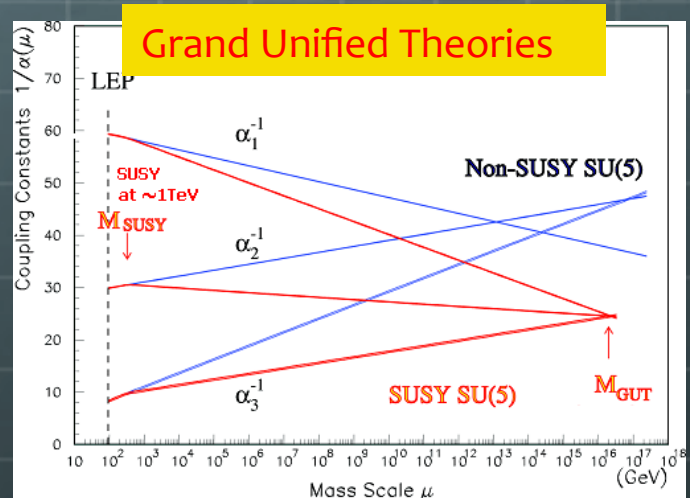


- R パリティの導入(陽子の安定性)
 - 標準模型粒子: 偶
 - その超対称粒子: 奇

最も軽い超対称粒子は安定となり、暗黒物質の候補

超対称標準模型

- ヒッグスの質量項の自然さの問題の解決
- ゲージ結合定数の統一
- 軽いヒッグスボゾンを予言
- 暗黒物質を予言



ニュートラリーノ

- 超対称標準模型におけるダークマター候補

$$\chi = c_B \tilde{B}^0 + c_W \tilde{W}^0 + c_{H1} \tilde{H}_1^0 + c_{H2} \tilde{H}_2^0$$

ビーノ ウイノ

ヒッグシーノ

- ニュートラリーノはMajoranaフェルミオンであるため、 Z ボゾンとのベクター結合がない。スニュートリノはベクター結合があり暗黒物質直接探索により簡単な模型は否定。
- ニュートラリーノの主成分がなにであるかは超対称性の破れの起源次第。

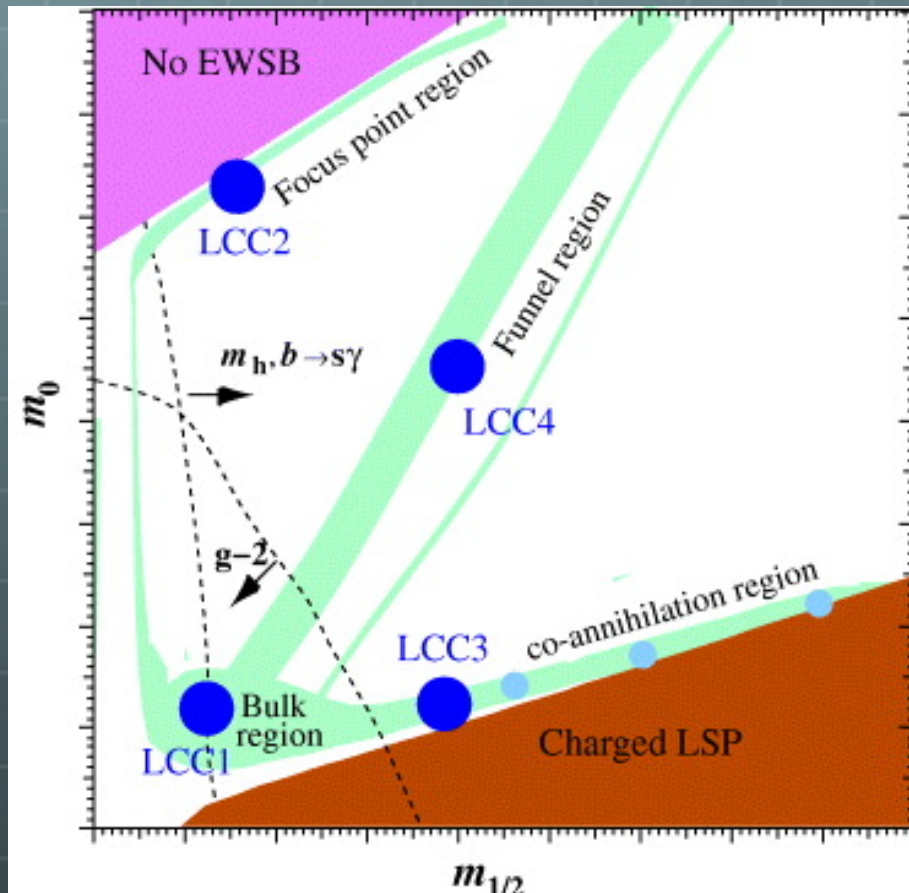
非熱的暗黒物質生成

- 必ずしも暗黒物質の熱的生成仮説は素粒子模型とフィットがいいとは限らない。
 - 長寿命粒子(例、グラビティーノ)の存在を予言。
 - 非常に限られたパラメータでのみ観測を説明。
- 凍結温度以下 ($T < T_f (\sim M/20)$) での非熱的な暗黒物質生成の可能性。

$$\begin{aligned}\Omega_{\text{DM}} &< \Omega_{\text{DM}}^{\text{thermal}} \times (T_f/T) \\ &< 0.2 \times \left(\frac{M}{200\text{GeV}} \right) \left(\frac{3 \times 10^{-24} \text{cm}^3/\text{s}}{\langle \sigma v \rangle} \right) \left(\frac{100\text{MeV}}{T} \right)\end{aligned}$$

CMSSMのパラメータ領域

(CMSSM:Constrained minimal supersymmetric standard model)



(Battaglia, 09)

Point	m_0	$m_{1/2}$	$\tan \beta$	A_0	sign μ
LCC1	100	250	10	-100	+
LCC2	3280	300	10	0	+
LCC3	213	360	40	0	+
LCC4	380	420	53	0	+

LSP annihilation channel

LGC1: bulk region

LGC2: $\chi\chi \rightarrow WW$

due to bino-Higgsino mixing

LGC3: bino-stau coannihilation

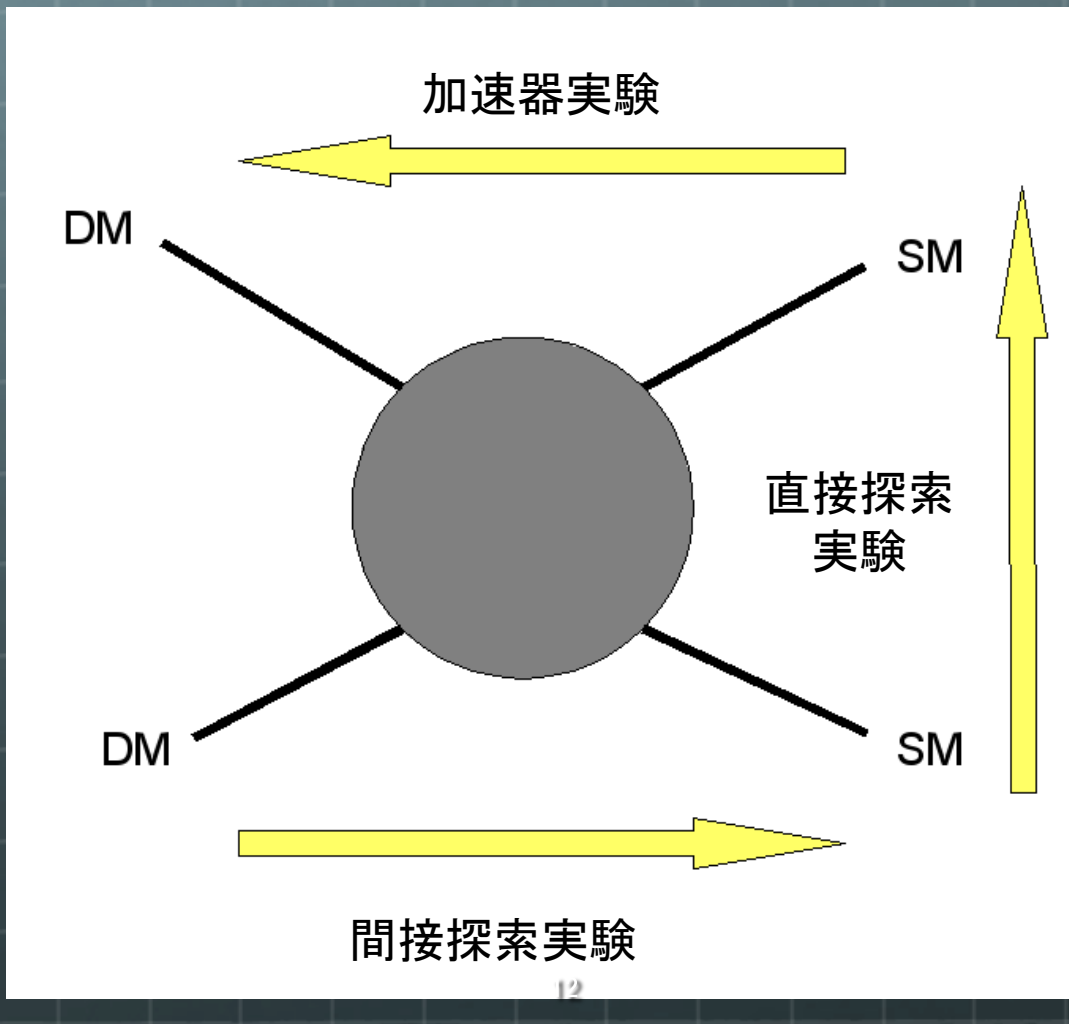
LGC4: Higgs pole

素粒子模型における 暗黒物質候補

- 超対称標準模型におけるニュートラリーノ
- 余剰次元模型のKaluza-Klein photon
- Little Higgs模型のT-odd photon
-
-

#超対称模型は標準模型を超える理論のひな形。

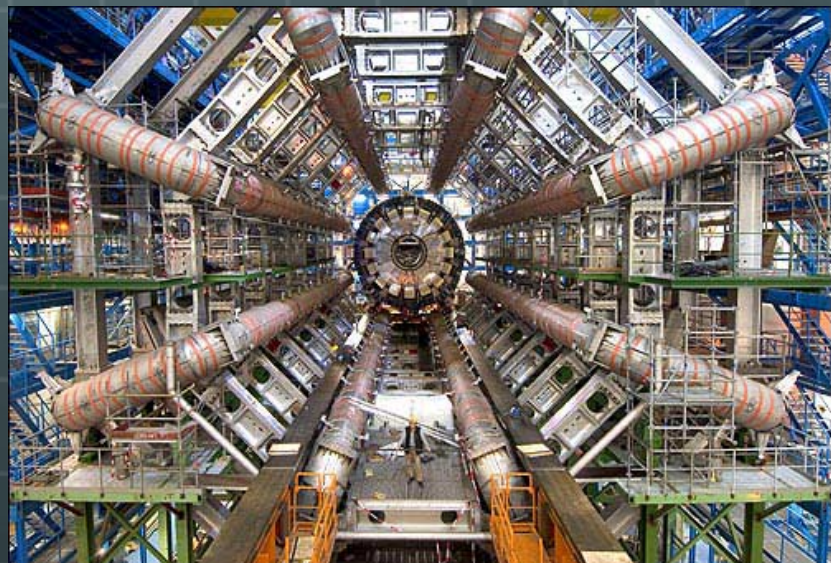
暗黒物質の正体を暴く



WIMP探索(直接生成)

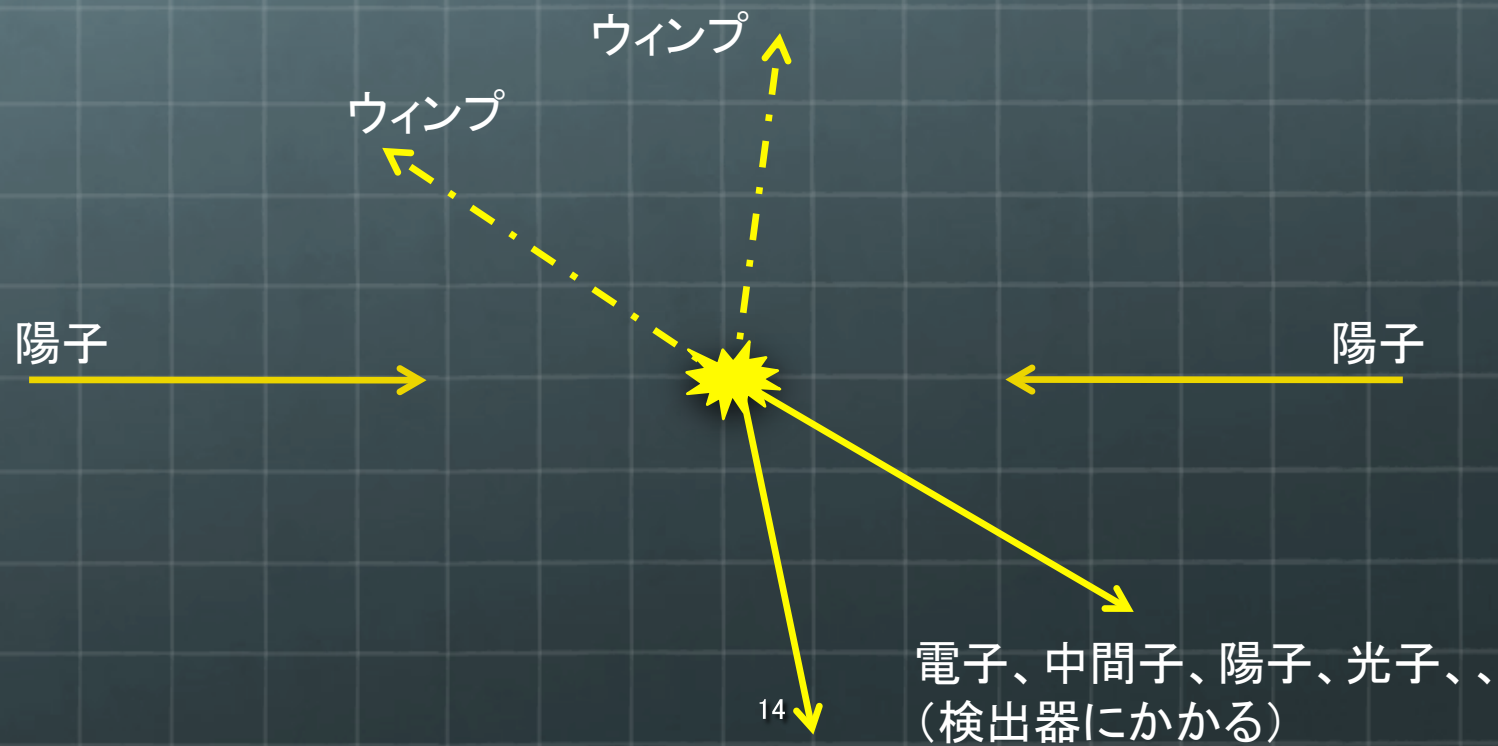
LHC実験：陽子・陽子衝突実験

2010より本格的に7TeVでスタート。



WIMP探索(直接生成)

- LHC実験: 陽子・陽子衝突実験
- 運動量が保存していないイベントを探す。
(WIMP自体は検出器にかかるない)



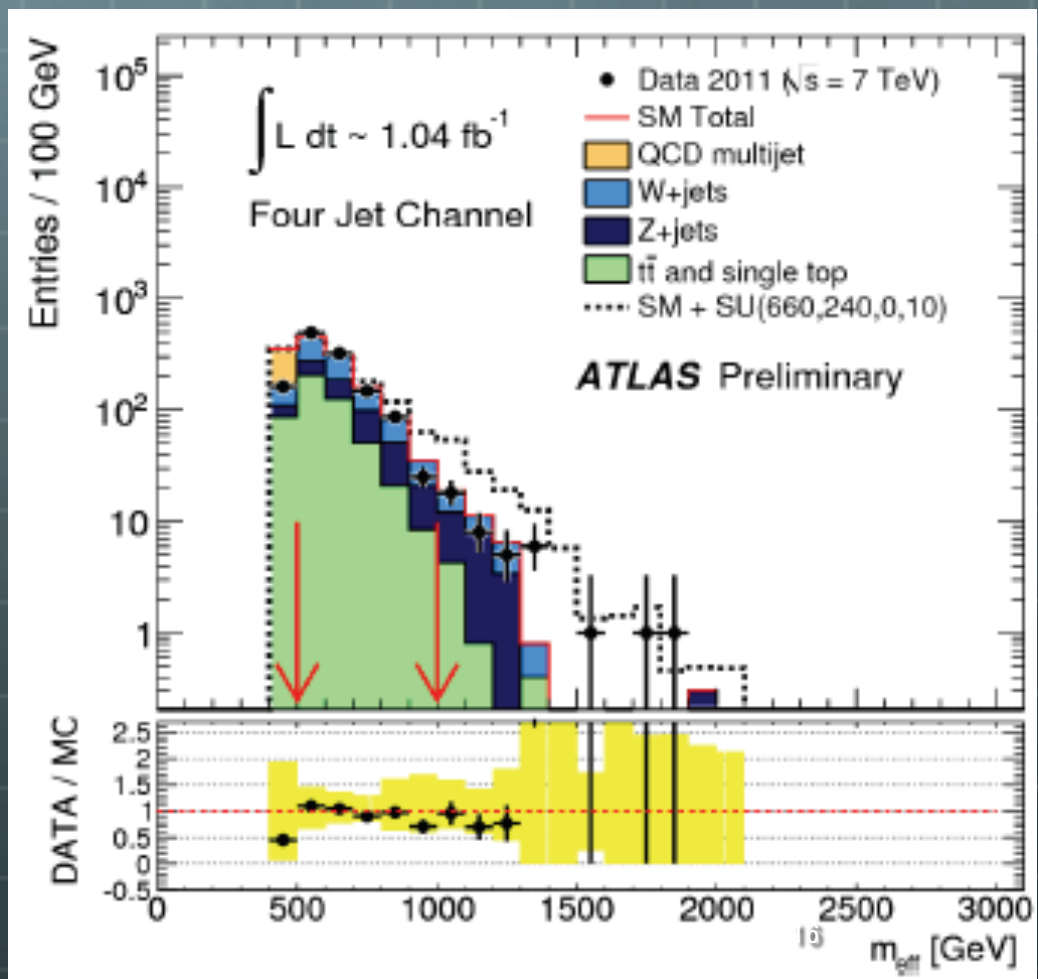
WIMP探索(直接生成)

- LHC実験: 陽子・陽子衝突実験
- 運動量が保存していないイベントを探す。
(WIMP自体は検出器にかかるない)

Channel	Signature	Main backgrounds
0 lepton + jets + E_T^{miss}	$\geq 2\text{-}4$ jets, large E_T^{miss} , $m_{\text{eff}}^{(*)}$	W/Z+jets, top, QCD
1 lepton + jets + E_T^{miss}	e/μ , ≥ 3 jets, large E_T^{miss} , m_{eff} , m_T	Top, W/Z+jets, QCD
2 leptons (SS/OS) + E_T^{miss}	2 e/μ , large E_T^{miss}	SS: Fakes, diboson, top OS: top, Z+jets
≥ 3 leptons + E_T^{miss}	≥ 2 jets, E_T^{miss} , $m_{l^+l^-} \neq m_Z$	Z+jets, top
0 lepton + b-jets + $E_t^{\text{miss}}^{(**)}$	1-2 b-jets, m_{eff}	Top, W/Z+jets, QCD
$\gamma\gamma + E_T^{\text{miss}}$	2 γ , E_T^{miss}	QCD, top, Wy+jets
+ more targeted analyses for SUSY scenarios with features not covered by above inclusive searches. See exhaustive list on slide 21		15

WIMP探索(直接生成)

Jets+missing Etイベント探索

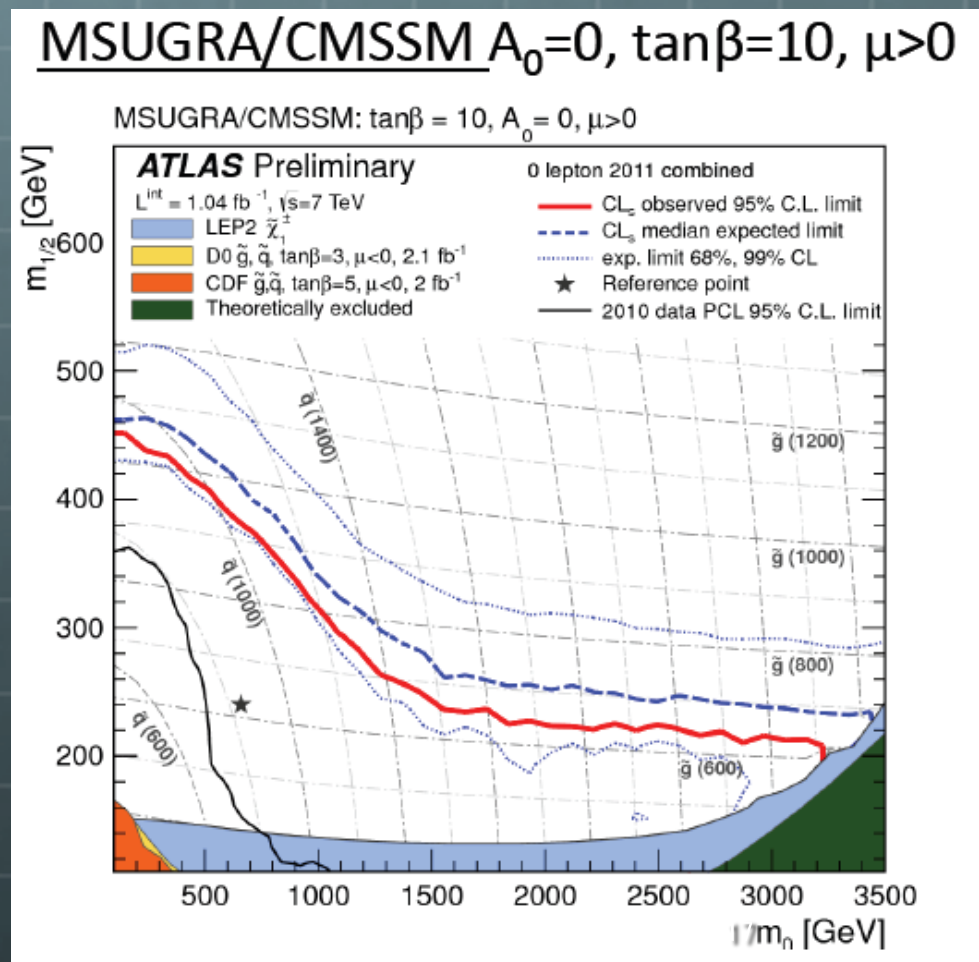


横軸:

$$m_{eff} \equiv \sum_{i=1}^n |\mathbf{p}_T^i| + E_T^{miss}$$

WIMP探索(直接生成)

Jets+missing Etイベント探索

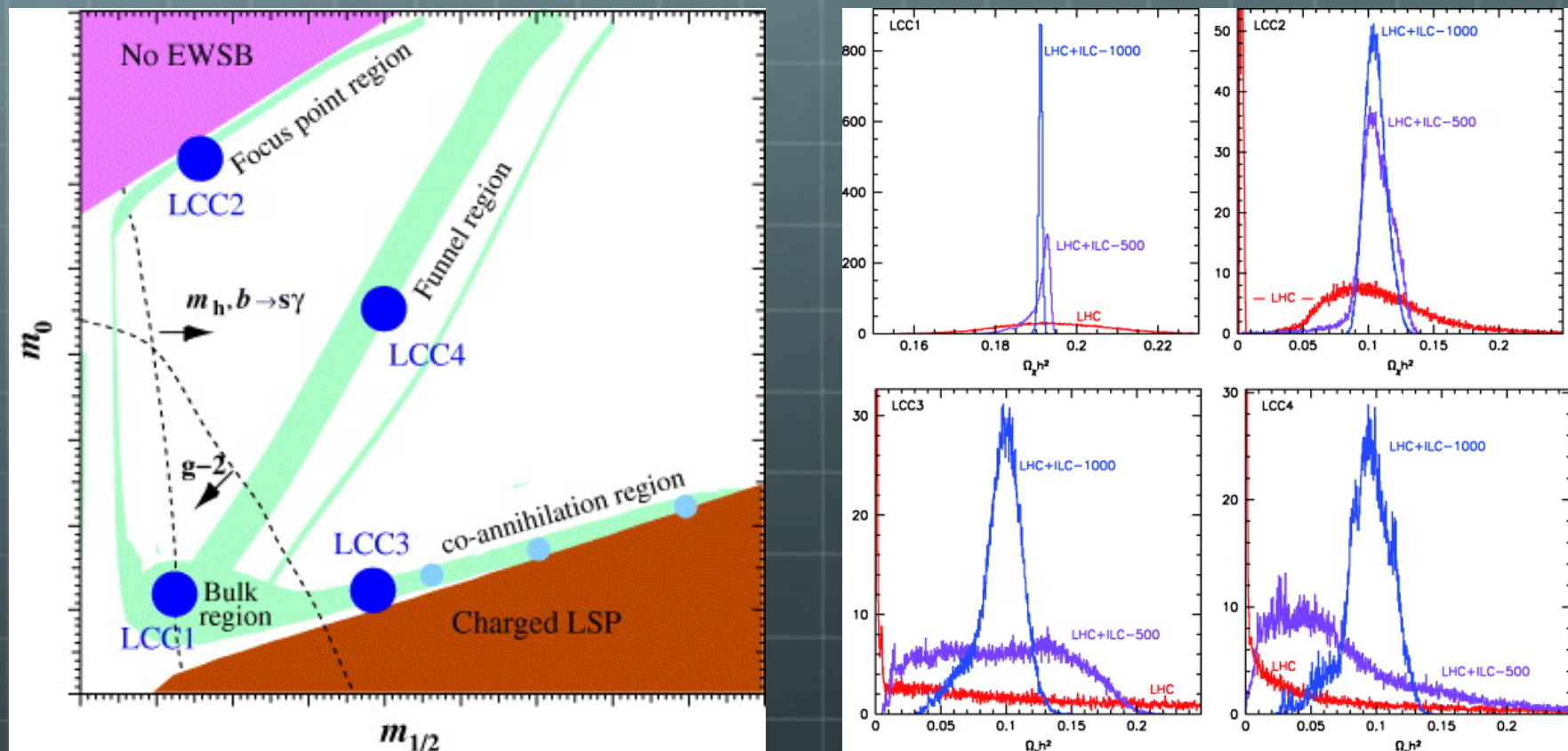


$m_{\tilde{g}} = m_{\tilde{q}}$ としたとき質量の下限は 980GeV(95%CL)

ただし、この制限は模型に強く依存。

$\Omega_{\text{DM}} h^2$ の決定

⌚ LHCでは十分な精度がない。LCが必要。



(Baltz et al, 06)

WIMP探索(直接探索)

- WIMPは我々の周りを飛び回っている。

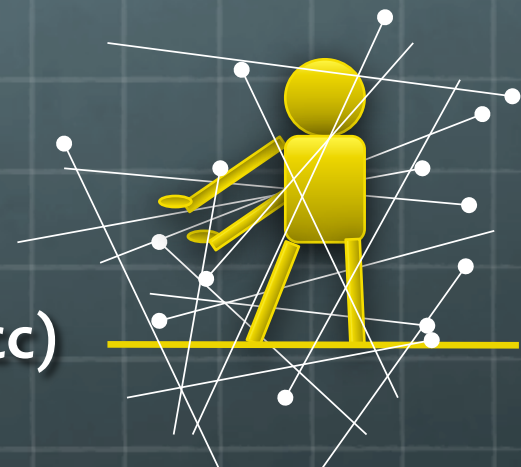
重さ: 約百GeVから数TeVくらい

速度: 秒速200キロ(光速の0.1%)

数: 1平方メートルに約千個(0.3GeV/cc)

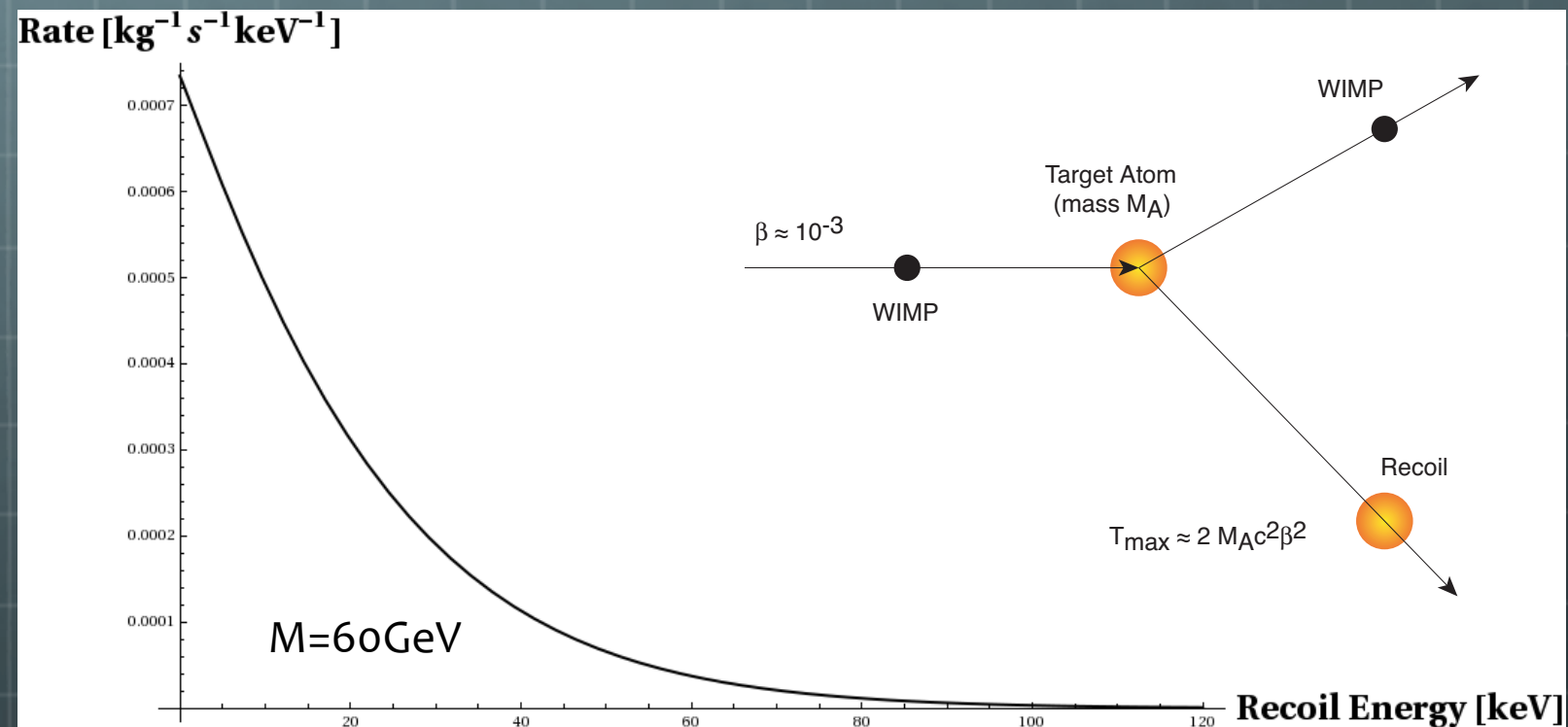
ほとんどは我々をすり抜けていく。

- ごくごくわずかな確率で原子核とぶつかり、はじかれた原子核がわずかな熱、光、電流を発生する。ウインプ直接探索ではそのわずかなシグナルを探す。



WIMP探索(直接探索)

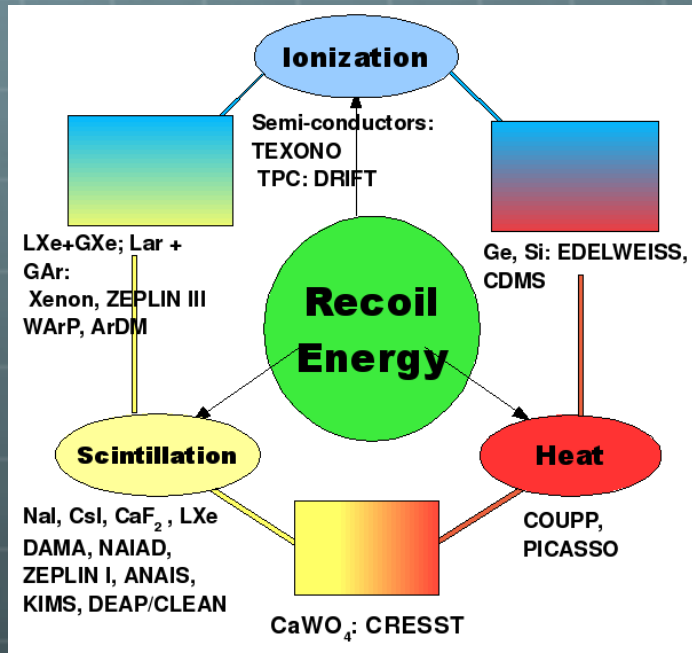
- 数10KeVの反跳原子核を捕らえる。



WIMP探索(直接探索)



現在世界中で競争。



日本ではXMASS実験
が稼働開始。



(c) 東京大学宇宙線研究所 神岡宇宙素粒子研究施設

30以上の実験

Current and Future direct WIMP Search experiments
35 programs (not complete list : sorry for those projects I have missed)

Experiment s	site	Target & mass	technology	Achieved (cm ²)	Sensitivity (cm ²)	Status & comments	Year to start
Xenon							
ZEPLIN-III	Boulby	Xe: 8kg	two phase	SI: 10 ⁻⁴³	Stop in 5- 2011	results soon	
XENON100	LNGS	Xe: 48kg	two phase	SI: 7x10 ⁻⁴⁵		On going	
XENON1T	LNGS	Xe: 1t	two phase	SI: 10 ⁻⁴⁷		2015	
XMASS	Kamioka	Xe: 100kg	single phase	SI: 10 ⁻⁴⁵	commissioning	On going	
XMASS-1.5	Kamioka	Xe: 1ton	single phase	SI: 10 ⁻⁴⁶		2013	
XMASS-II	Kamioka	Xe: 10ton	single phase	SI: 10 ⁻⁴⁷		2016	
PANDA-X	Jing Ping	Xe: 25kg	two phase	SI: 10 ⁻⁴⁵		> 2013	
LUX	SUSEL	Xe: 100kg	two phase	SI: <10 ⁻⁴⁵	Surface lab	2012	
LZS	SUSEL/ SNO	Xe: 1ton	two phase	SI: 10 ⁻⁴⁷		2015	
Ar							
WARP	LNGS	Ar:140kg	two phase	SI: 5x10 ⁻⁴⁵	commissioning		
DarkSide50	LNGS	DAr: 50kg	two phase	SI: 10 ⁻⁴⁵	prototype		
ArDM	Canfranc	Ar: 850kg	two phase		Prototype	2011	
DEEP3600	SNOLAB	Ar: 1ton	Single phase	SI: 10 ⁻⁴⁵		2012	
MiniCLEAN	SNOLAB	Ar: 150kg	Single phase	SI: 10 ⁻⁴⁴		2011	
DARWIN	Europe	Ar or Xe: tons	two phase	SI: <10 ⁻⁴⁷			
MAX	DUSEL	Ar and Xe		SI:<10 ⁻⁴⁷	R&D		

11/07/26

Y. Suzuki@EPS-HEP2010 in Grenoble

28

Tracking

Drift-III	Boulby	CS2:4kg,24m ³	TPC	SD: 10 ⁻⁴⁰	?
DM-TPC		CF4	PMT+TPC		Prototype test
NewAGE	Kamioka	CF4	microTPC		Prototype test
MiMac	LSM	CF4	microTPC	Prototype	2011 1m ³
Cygnum	World?		Tracking	Y. Suzuki@EPS-HEP2010 in Grenoble	White paper

29

WIMP・核子有効相互作用

$$\mathcal{L} = \sum_{N=p,n} f_{\text{SI}} \bar{\chi} \chi \bar{N} N + f_{\text{SD}} \bar{\chi} \sigma_a \chi \bar{N} \sigma_a N$$

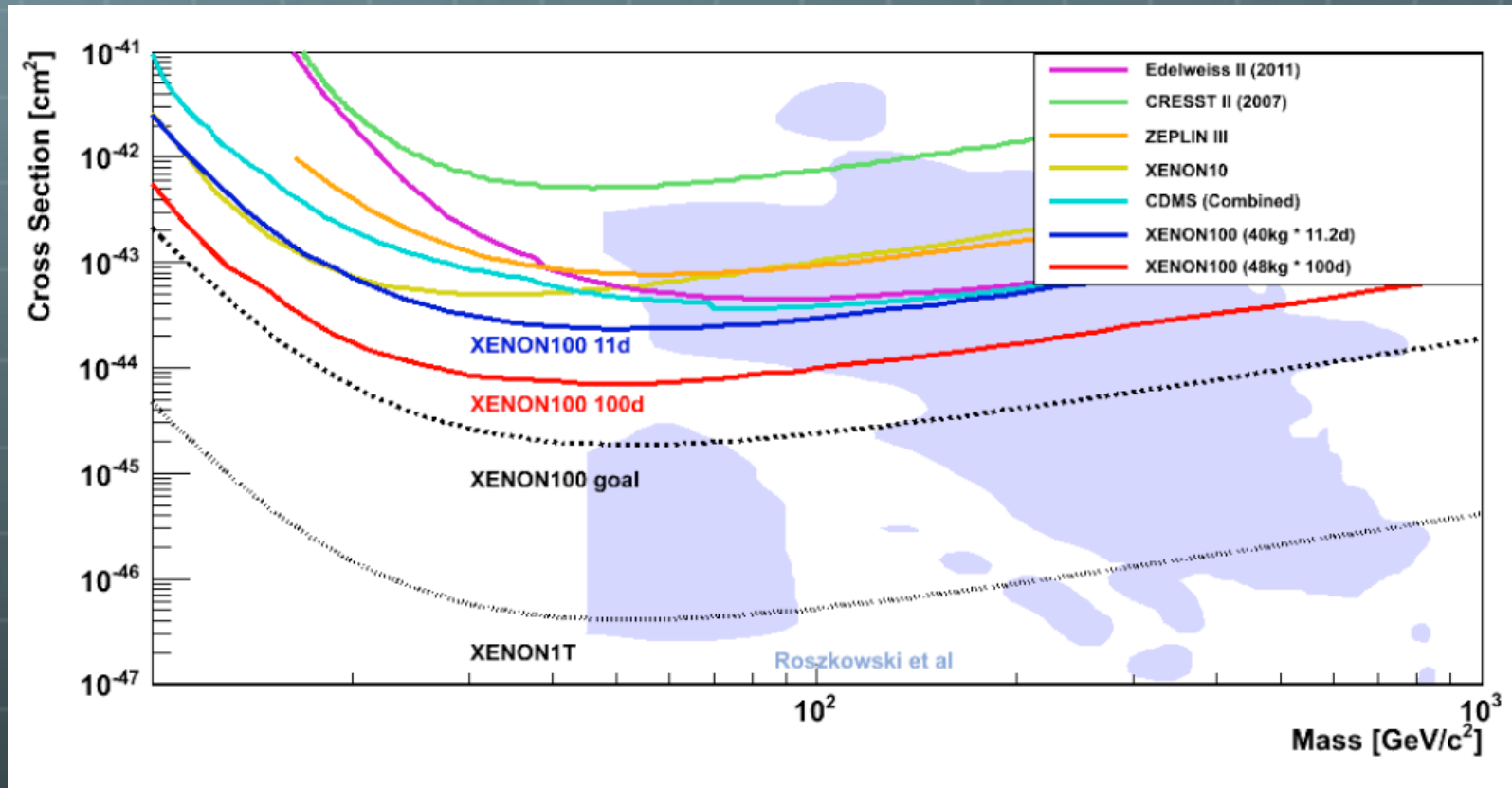
- WIMP χ はMajorana fermionであることを仮定。
- SI(spin-independent)相互作用による散乱の事象数は原子数(A)の3乗に比例。大きな原子核を使うことで感度が上がる。

$$\sigma = \sigma_p^{\text{SI}} A^2 \left(\frac{M m_N}{M + m_N} \right)^2 \left(\frac{M m_p}{M + m_p} \right)^2 \sim A^4$$

位相積分
コヒーレント

- SD(spin-dependent)相互作用はスピンの候補に対して感度あり。

WIMP直接探索(SI)

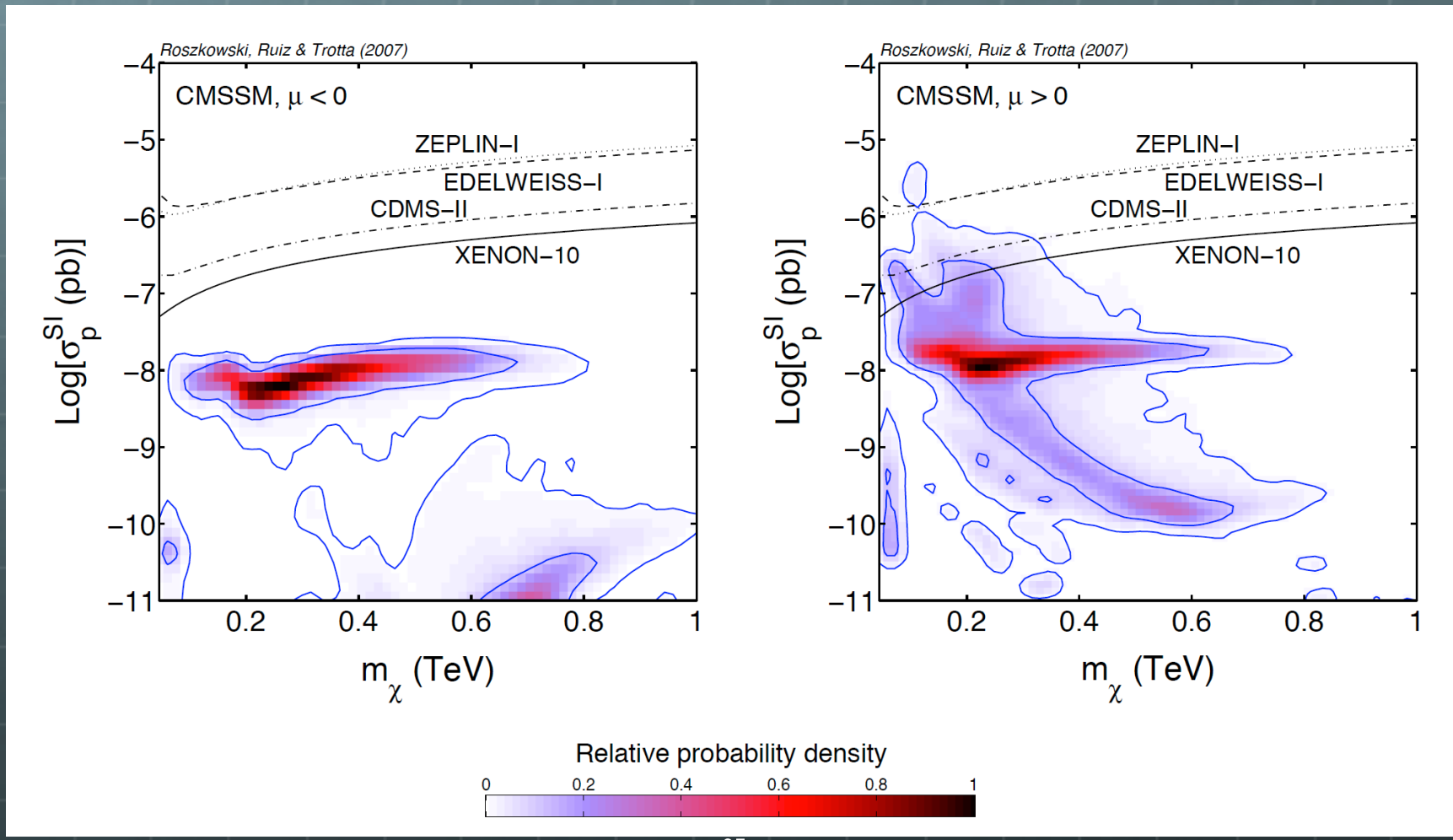


SI相互作用を仮定。 XENON100実験により断面積の上限を 10^{-44}cm^2 を切った。

CMSSM

LSPはニュートラリーノ

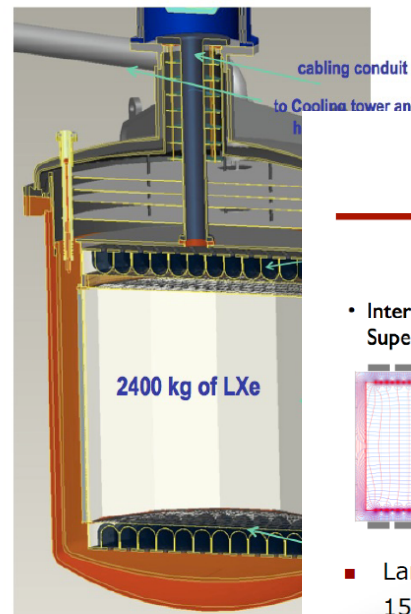
SI相互作用を仮定。 $(pb = 10^{-36} \text{ cm}^2)$



実験の将来計画

XENON future

- XENON-100 to run until end 2010
 - goal 2×10^{-9} pb
 - Improve purification
- XENON-1t (2014, Gran Sasso or LSM)
 - Goal: 3×10^{-11} pb
 - Lower radioactivity PMT (QUPID)
 - and cryostat, better purification scheme
- Many other Xenon/Argon programs in coming years: LUX, DEAP-CLEAN, WARP, ArDM, DarkSide
- Longer term: multi-ton expts (DARWIN, LZ)

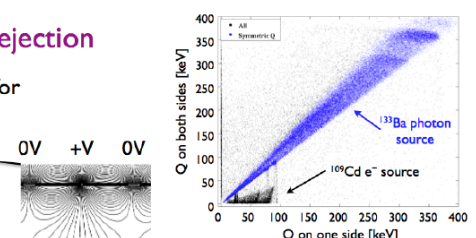
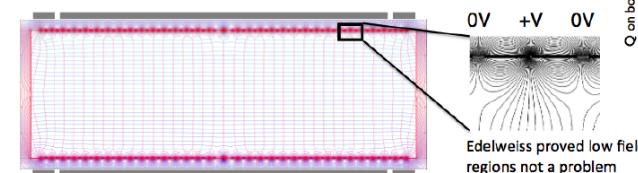


From ICEHP10 (Talk by Gascon)

CDMS future

Improving Background Rejection

- Interdigitated ZIP (iZIP) design meets needs for SuperCDMS SNOLAB and GEODM



- Larger detectors (cost, bkg): 2.5 cm thickness, tests with $\phi = 10$ cm and 15 cm (dislocation free) $\Rightarrow > 5$ kg units

- Super CDMS @ Soudan : 15 kg (2010-2012) runs with 600g i-ZIP
- Super CDMS @ SNOLAB : 100 kg (2012-2017)
- GeoDM @ DUSEL: 5 T (2017-...)

July 28th, 2010

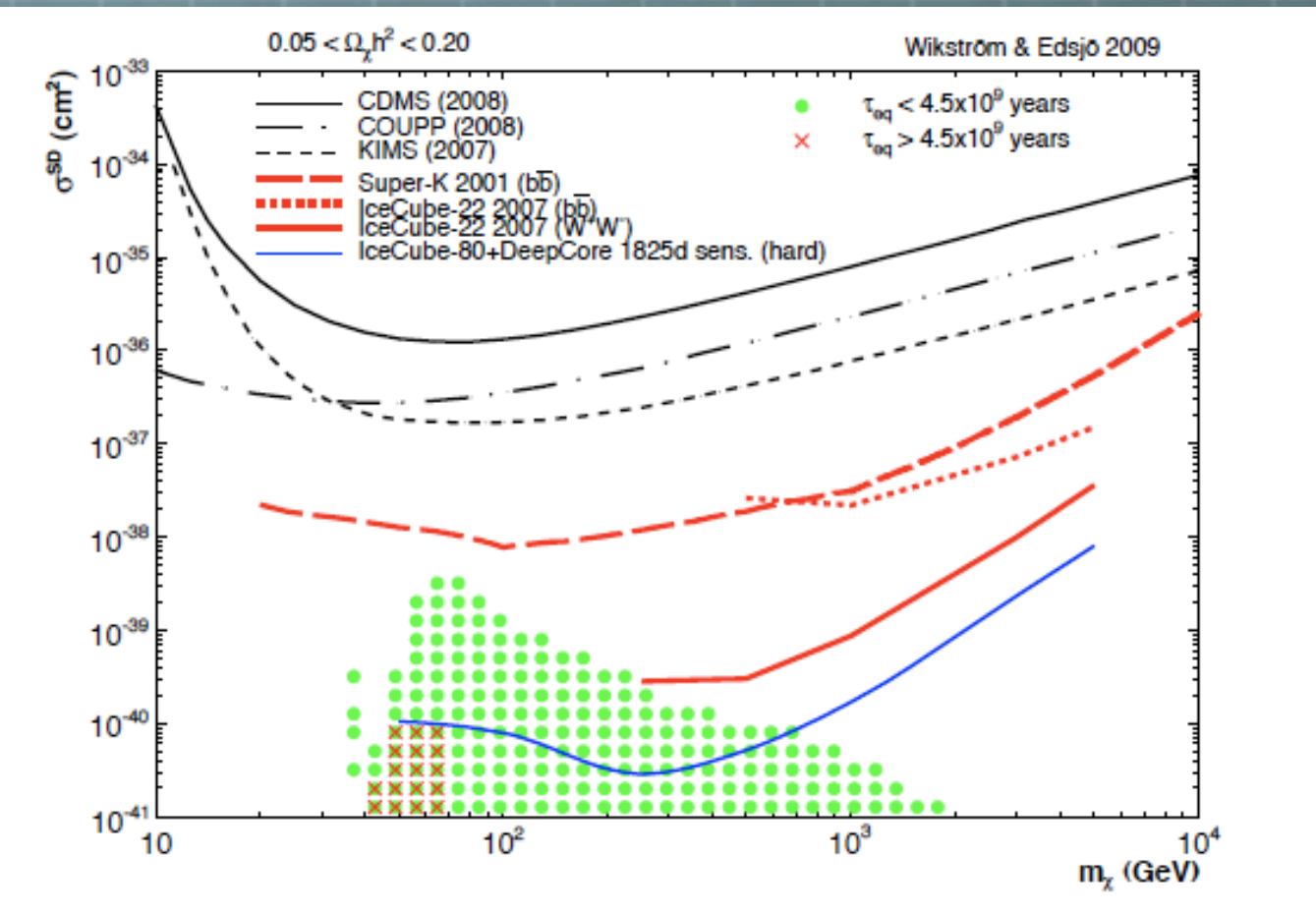
Direct DM Searches - ICHEP - Paris - July 2010

July 28th, 2010

Direct DM Searches - ICHEP - Paris - July 2010

25 25

WIMP直接探索(SD)



SI相互作用を仮定。

(Wikstrom and Edsjo)

WIMP探索(間接探索)

宇宙線中にWIMP対消滅の痕跡を探る。

- 荷電反粒子宇宙線

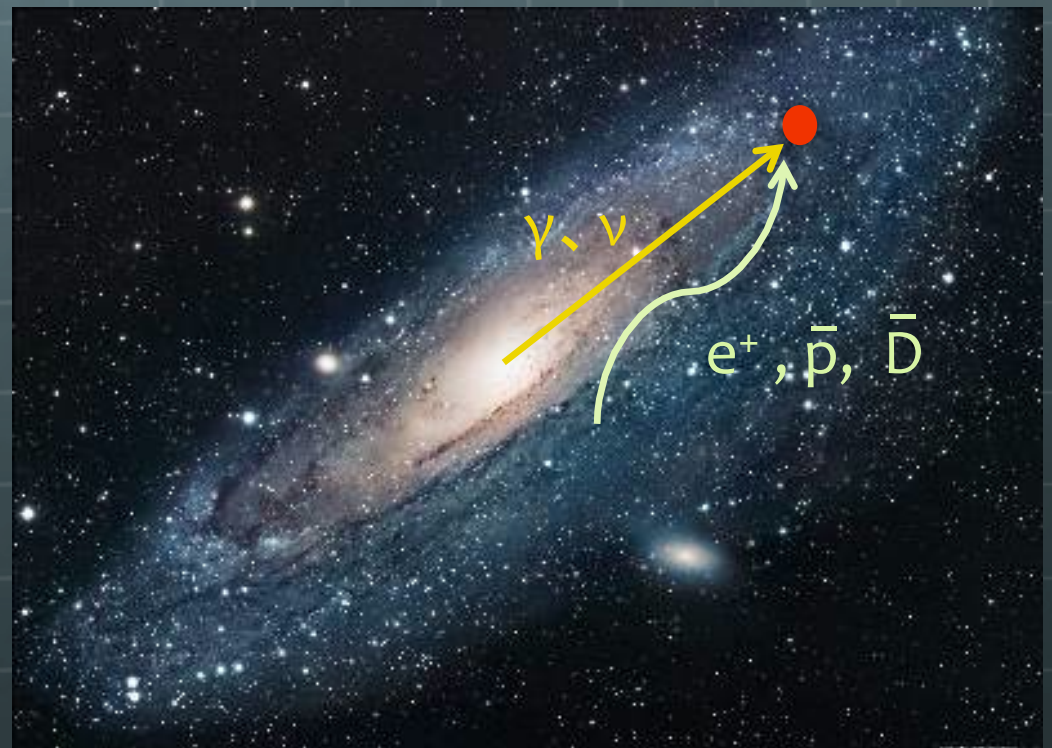
陽電子

反陽子

反重水素

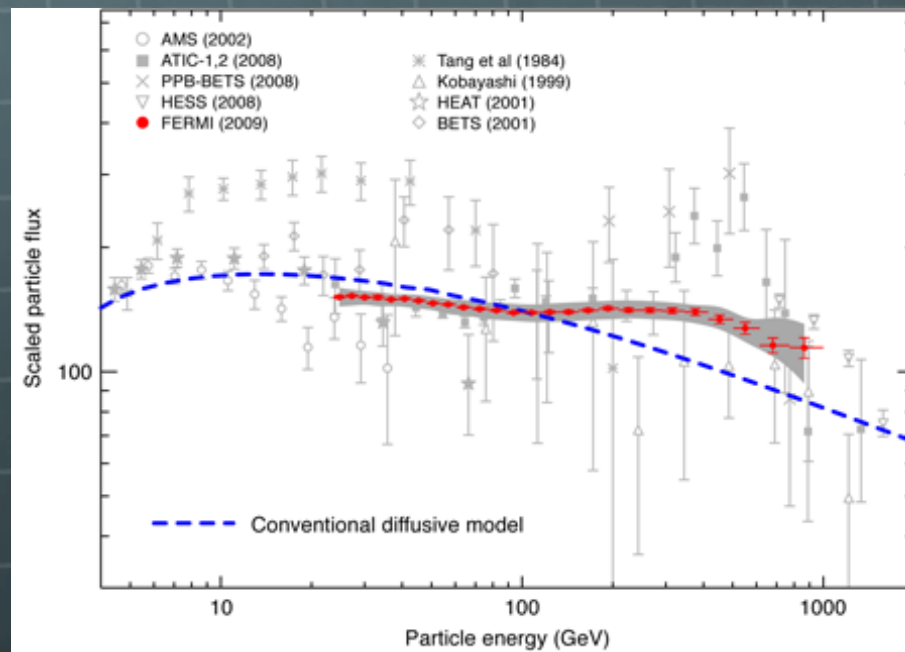
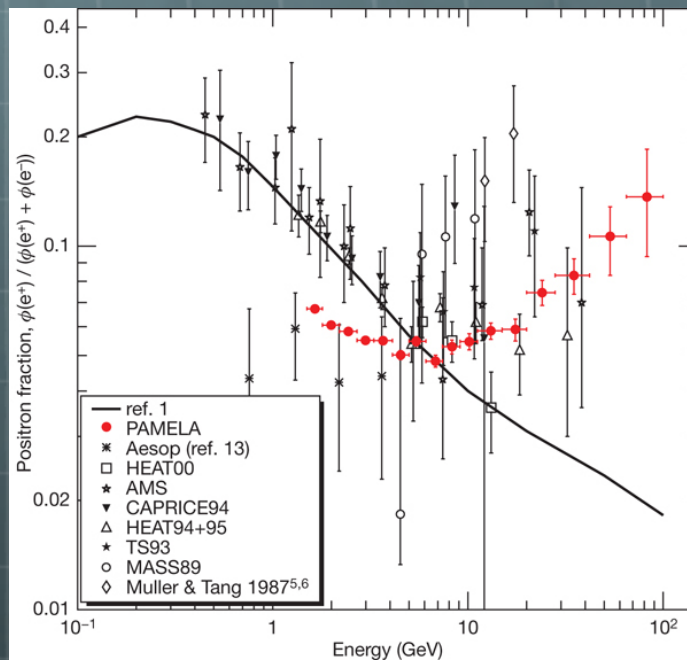
- ガンマ線

- ニュートリノ



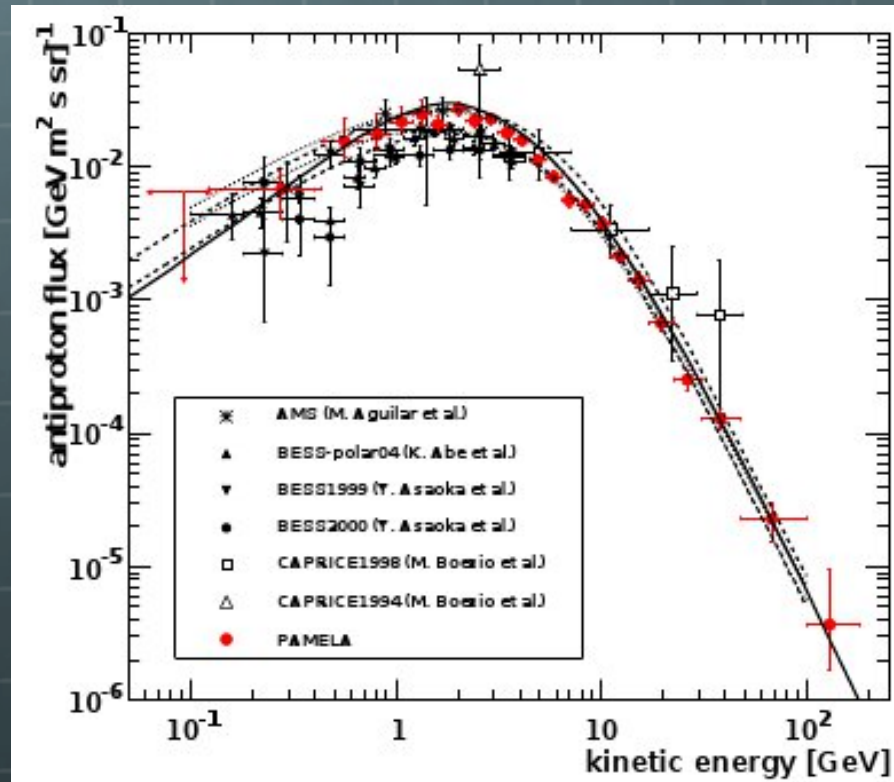
WIMP探索(反粒子宇宙線)

- Pamela、Fermiによる陽電子、電子宇宙線にconventional diffusion model からのずれ「異常」がみえる。



WIMP探索(反粒子宇宙線)

- Pamelaの反陽子のスペクトラムにはconventional diffusion model の予言に比べ「異常」見えない。

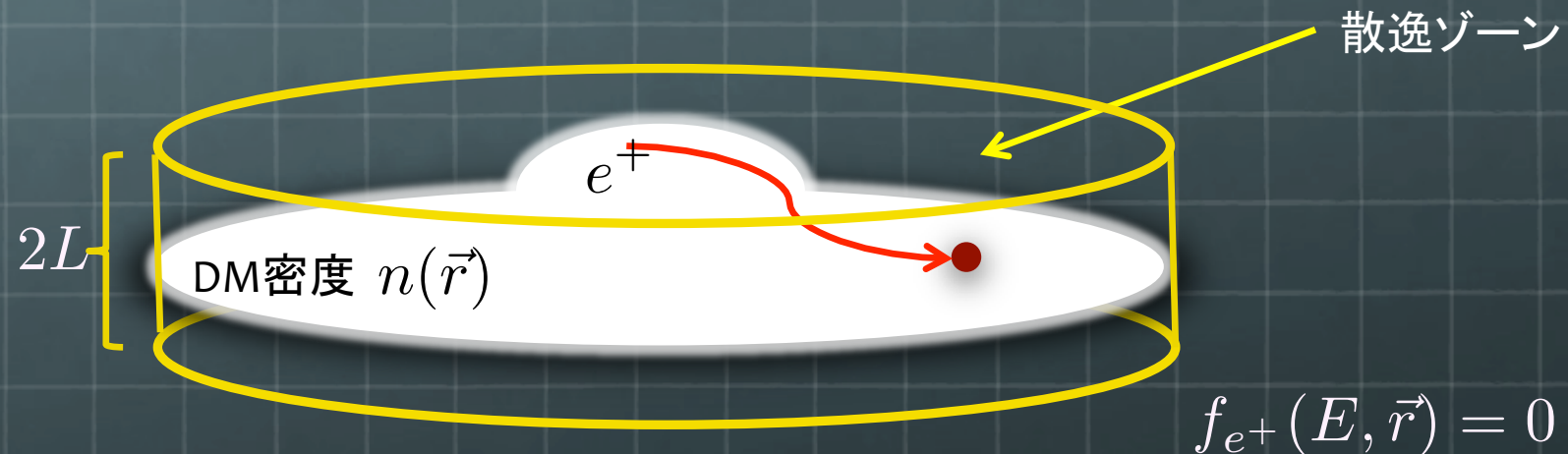


散逸模型

- 陽電子の数密度 $f_{e^+}(E, \vec{r})$ の散逸方程式

$$\frac{\partial}{\partial t} f_{e^+}(E, \vec{r}) = K(E) \nabla^2 f_{e^+}(E, \vec{r}) + \frac{\partial}{\partial E} [b(E) f_{e^+}(E, \vec{r})] + Q(E, \vec{r})$$

$K(E)$ 散逸定数、 $b(E)$ エネルギー損失比、 $Q(E, \vec{r})$ 源項



- 定常状態を仮定: $\frac{\partial}{\partial t} f_{e^+} = 0$

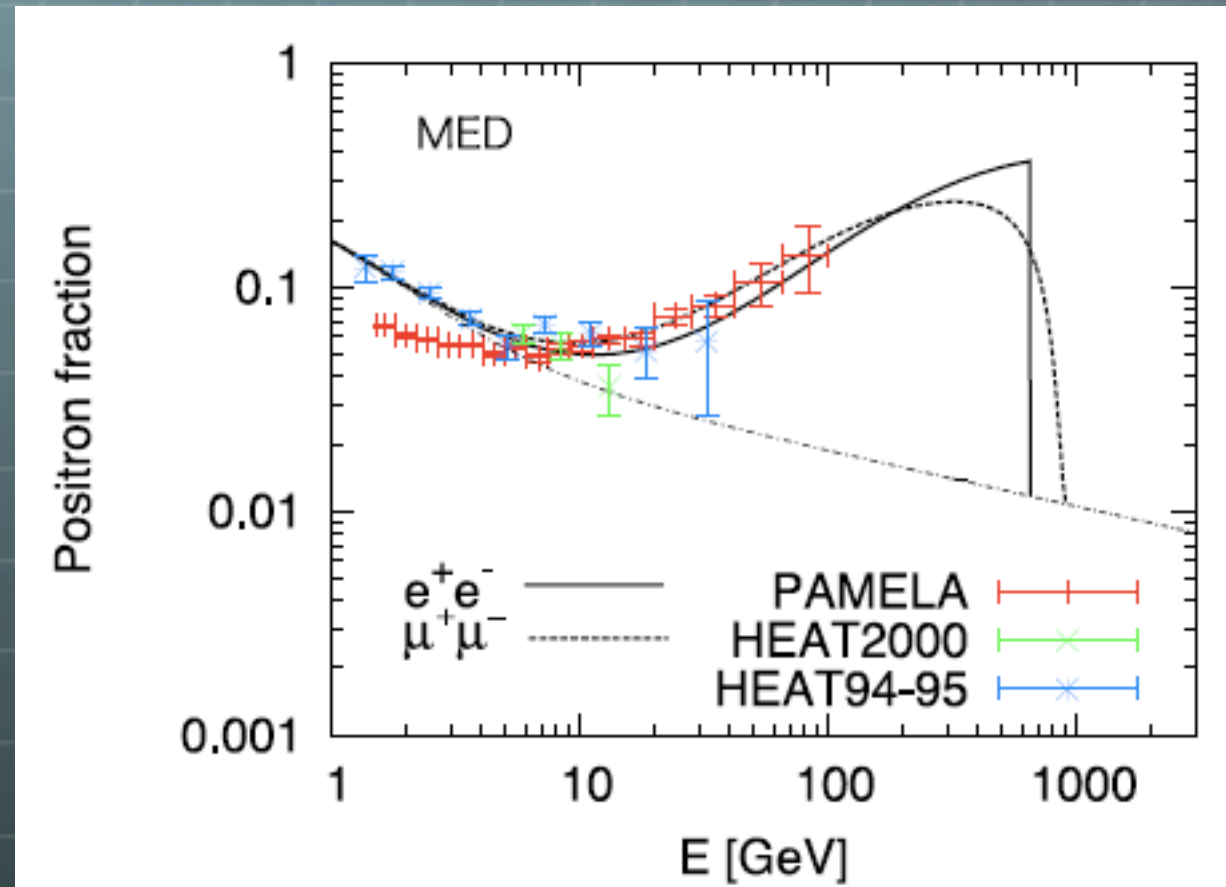
陽電子

- ➊ 陽電子の伝搬距離(エネルギー損失はCMB、starlightとの散乱で決まる)

$$r \simeq \sqrt{\frac{K(E)E}{b(E)}} \sim 2 \times (E/100\text{GeV})^{-0.27} (\text{kpc})$$

- ➋ Pamelaアノマリーを説明するには太陽系の近傍にその源が存在する必要がある。
 - パルサー
 - 超新星
 -
 - 暗黒物質起源

WIMP起源陽電子



(JH et al)

$$\langle \sigma v \rangle = 5 \times 10^{-24} \text{ cm}^3/\text{s} M = 650 \text{ GeV } (e^+e^-)$$

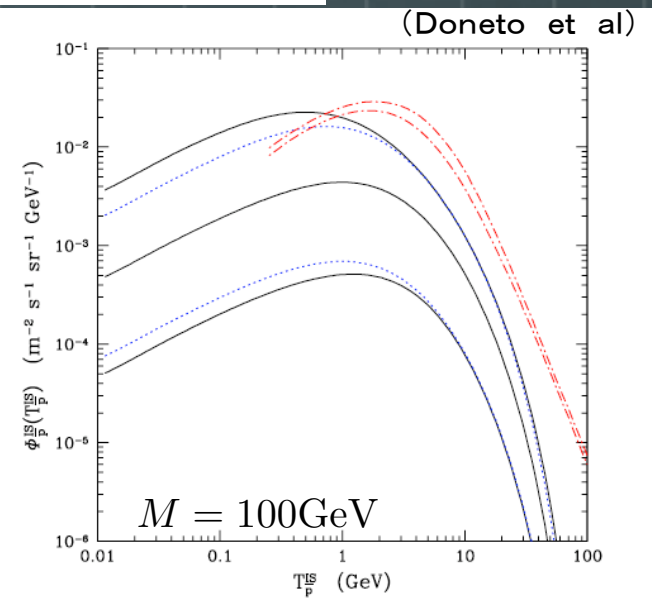
$$\langle \sigma v \rangle = 15 \times 10^{-24} \text{ cm}^3/\text{s}_{33} M = 900 \text{ GeV } (\mu^+\mu^-)$$

反陽子

- B/C、Be¹⁰/Be⁹比などのフィットにパラメータ縮退。(Donato et al)

case	δ	$K_0(\text{kpc}^2/\text{Myr})$	$L (\text{kpc})$	$V_c(\text{km/s})$
max	0.46	0.0765	15	5
med	0.70	0.0112	4	12
min	0.85	0.0016	1	13.5

- WIMP起源反陽子流量はLに強く依存。Minをとることで、制限は非常に弱くなる。3本の線はうえの表の3つの場合に対応。



ブースト因子

大きな源項の起源

$$Q(E, \vec{r}) = \frac{1}{2} n^2(\vec{r}) \sum_f \langle \sigma v \rangle_f \left(\frac{dN_{e^+}}{dE} \right)_f$$

天文学的ブースト因子

- clumpy なWIMPの分布

素粒子論的ブースト因子

- 非熱的暗黒物質生成
- 対消滅断面積の速度依存 (WIMPの典型的な速度 $v \sim 10^{-3} c$)

Sommerfeld 機構 (JH, Nojiri Matsumoto)

Breit-Wigner resonance 機構 (Ibe, Murayama, Yanagida)

WIMP探索(ガンマ線)

反粒子に比べ利点あり。

- 減光がない。
- 光源直接届く
- 散逸模型の不定性がない。
- スペクトラムに特徴がある。

線スペクトラムは**smoking-gun** ($E_\gamma \simeq M$)。

$$\chi\chi \rightarrow \gamma\gamma/\gamma Z$$

ただしループプロセスであるため、断面積は小さい。

FERMI衛星

SEARCH STRATEGIES

Satellites:

Low background and good source id, but low statistics

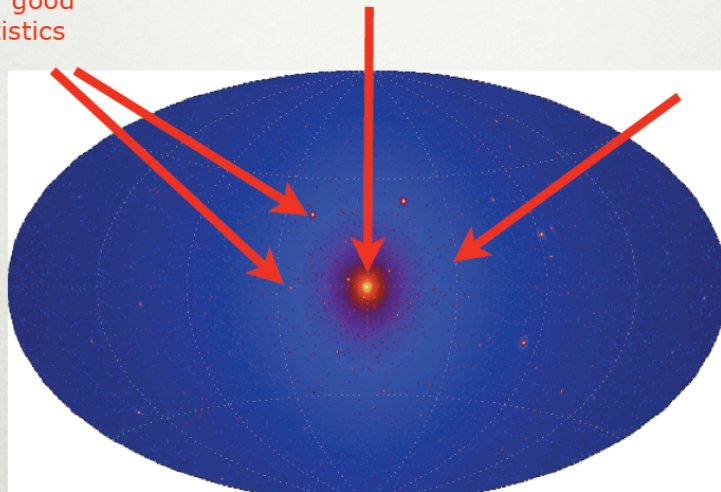
All-sky map of gamma rays from DM annihilation
arXiv:0908.0195 (based on Via Lactea II simulation)

Spectral lines:

No astrophysical uncertainties, good source id, but low statistics

Galactic center:

Good statistics but source confusion/diffuse background



Galaxy clusters:

Low background but low statistics

Milky Way halo:

Large statistics but diffuse background

And electrons!
Anisotropies

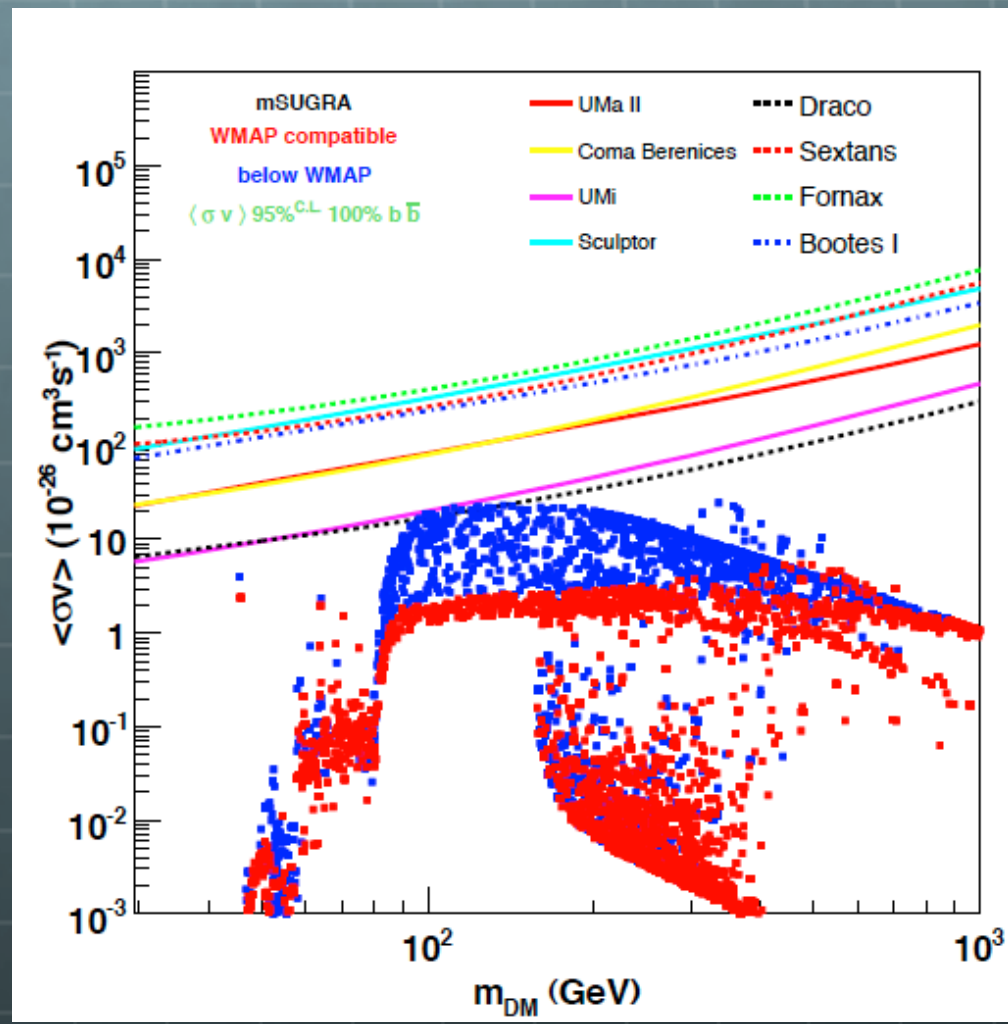
Extra-galactic:

Large statistics, but astrophysics, galactic diffuse background

Pre-launch sensitivities published in Baltz et al., 2008, JCAP 0807:013 [astro-ph/0806.2911]

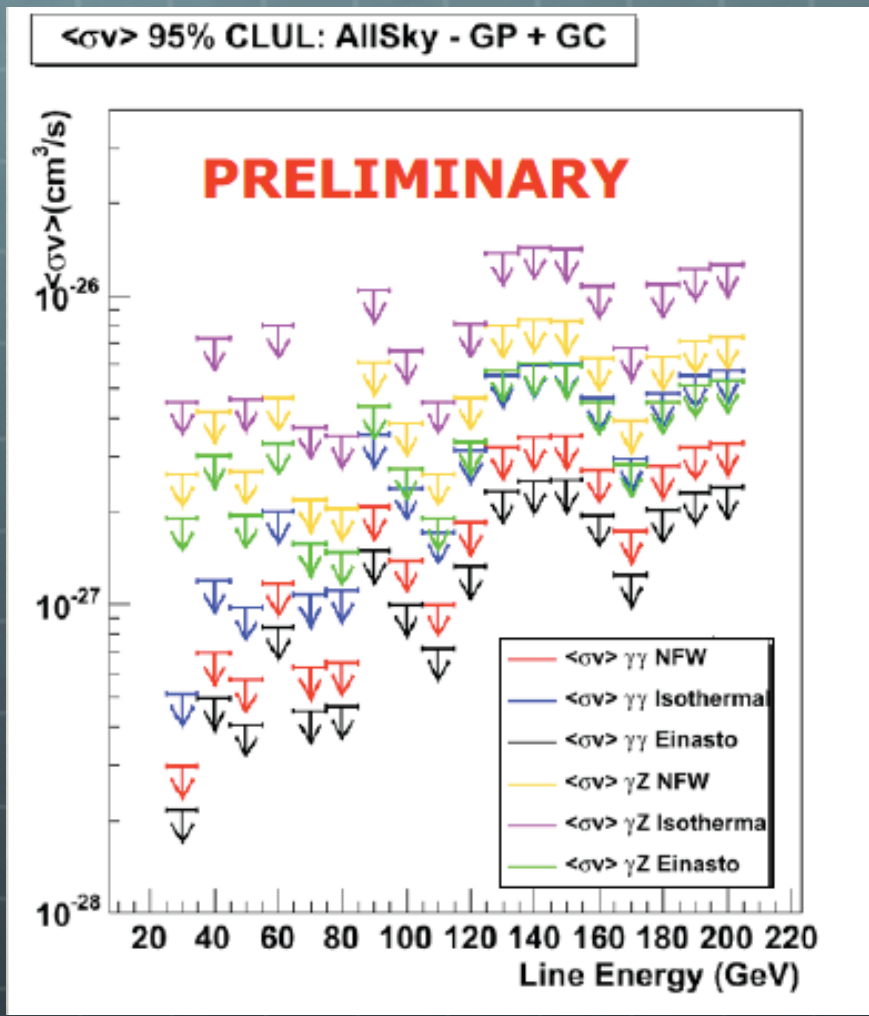
Slide from S.Murgia (Fermi symposium)

FERMI Dwarf 探索



矮小銀河のDM
量は観測から制
限。

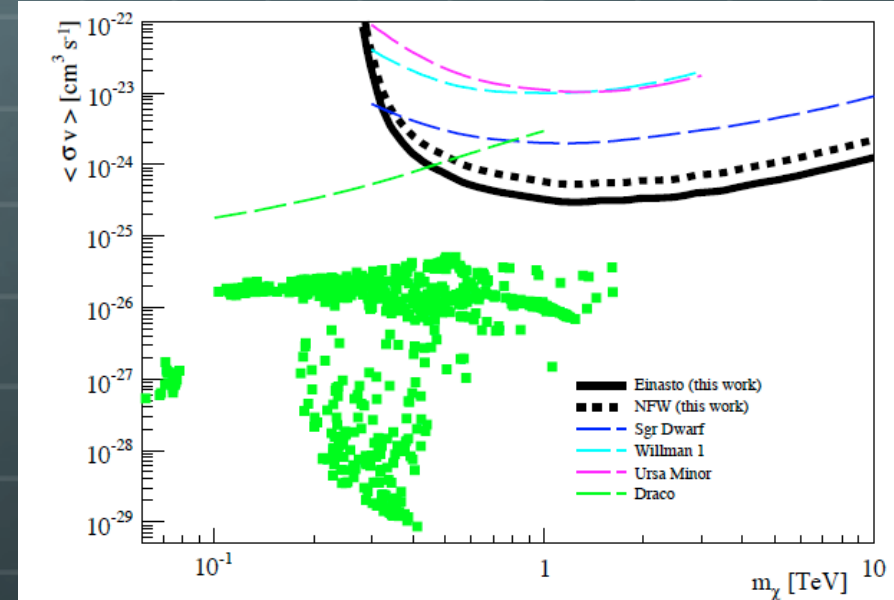
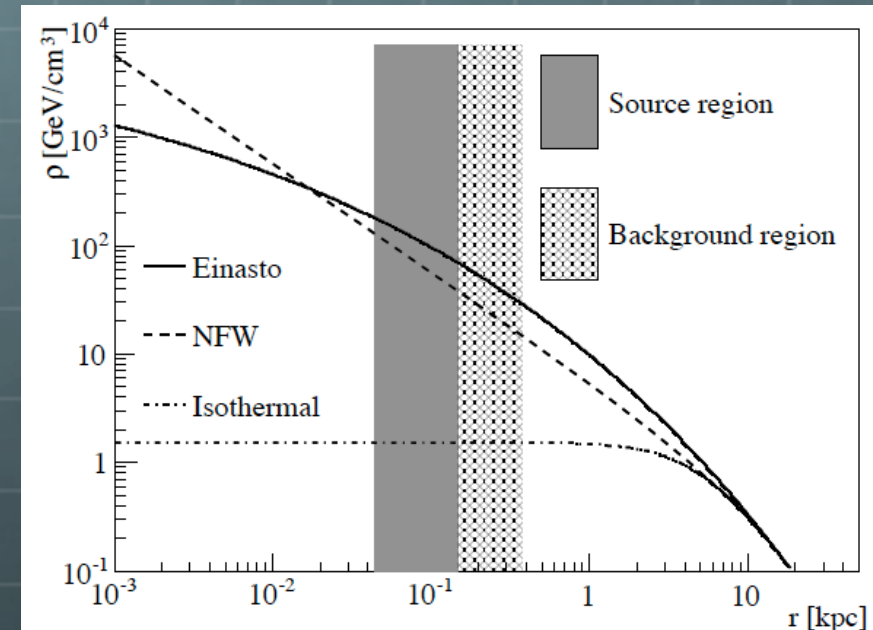
FERMI 線ガンマ線 探索



- 典型的な断面積は
 $\sim 10^{-30} \text{ cm}^3/\text{sec}$ 。
- Wino-likeのニュートラリーノは $5 \cdot 10^{-27} \text{ cm}^3/\text{sec}$ に達し、制限を受けている。

HESS GC 探索

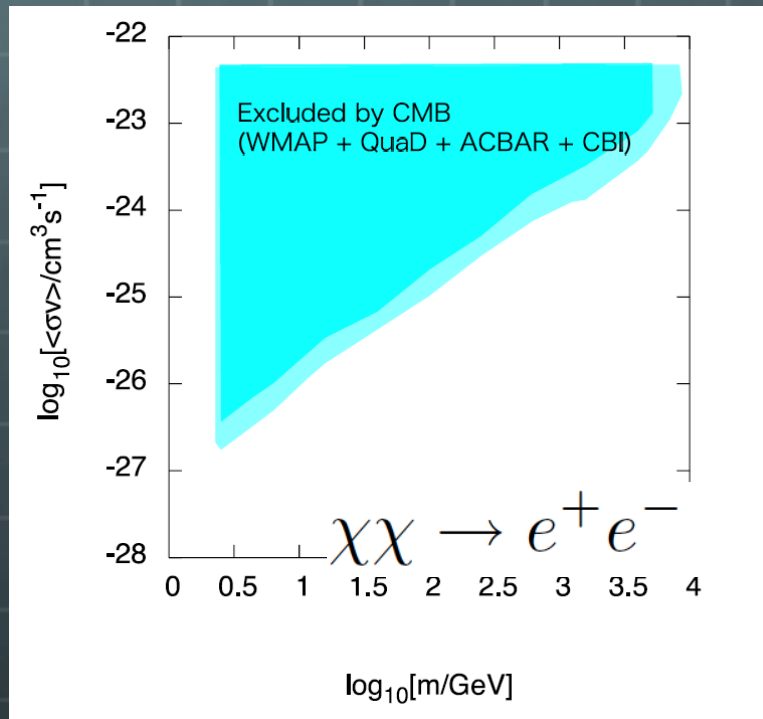
銀河中心からの厳しいガンマ線から制限



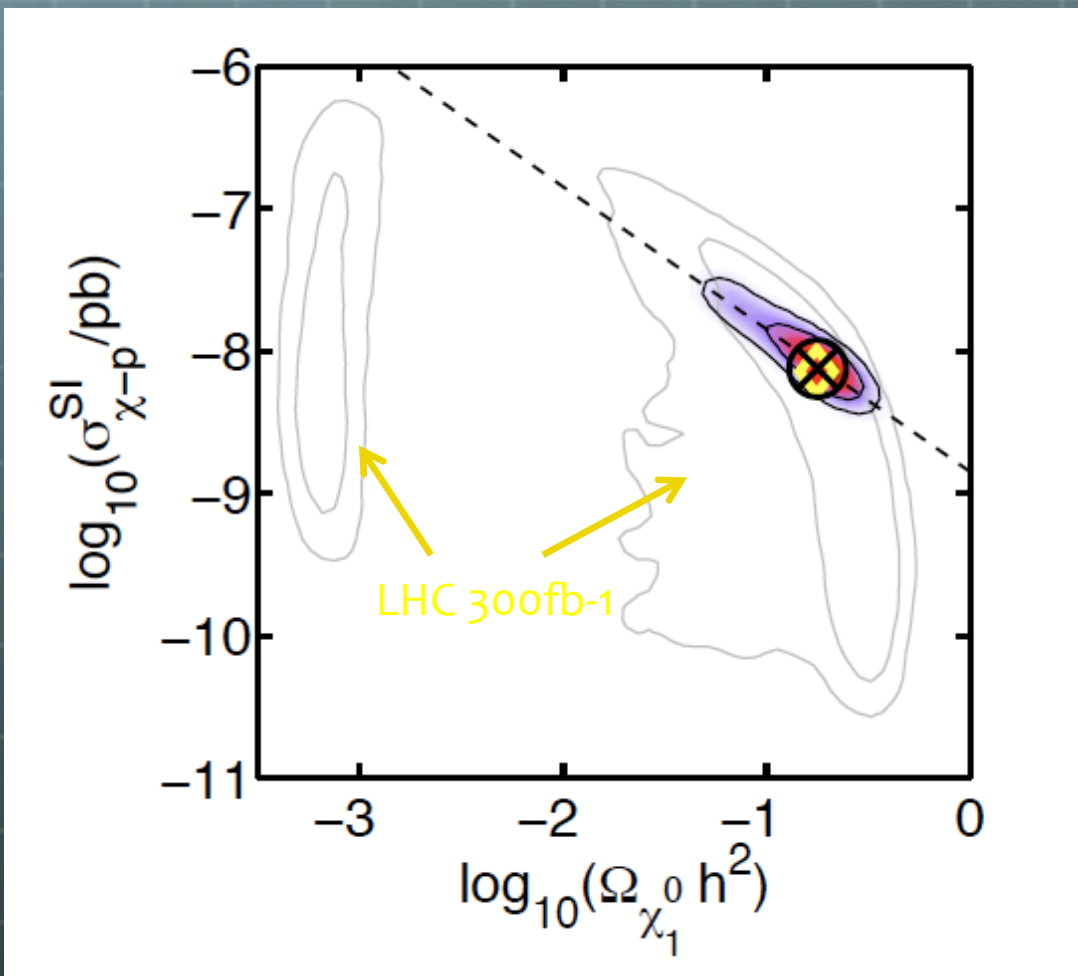
(Abramowski *et al*, 1103.3266)

WIMP探索(CMB)

- 宇宙の晴れ上がり以降のWIMPの対消滅過程による γ 線、電子は、CMBに影響を与える。



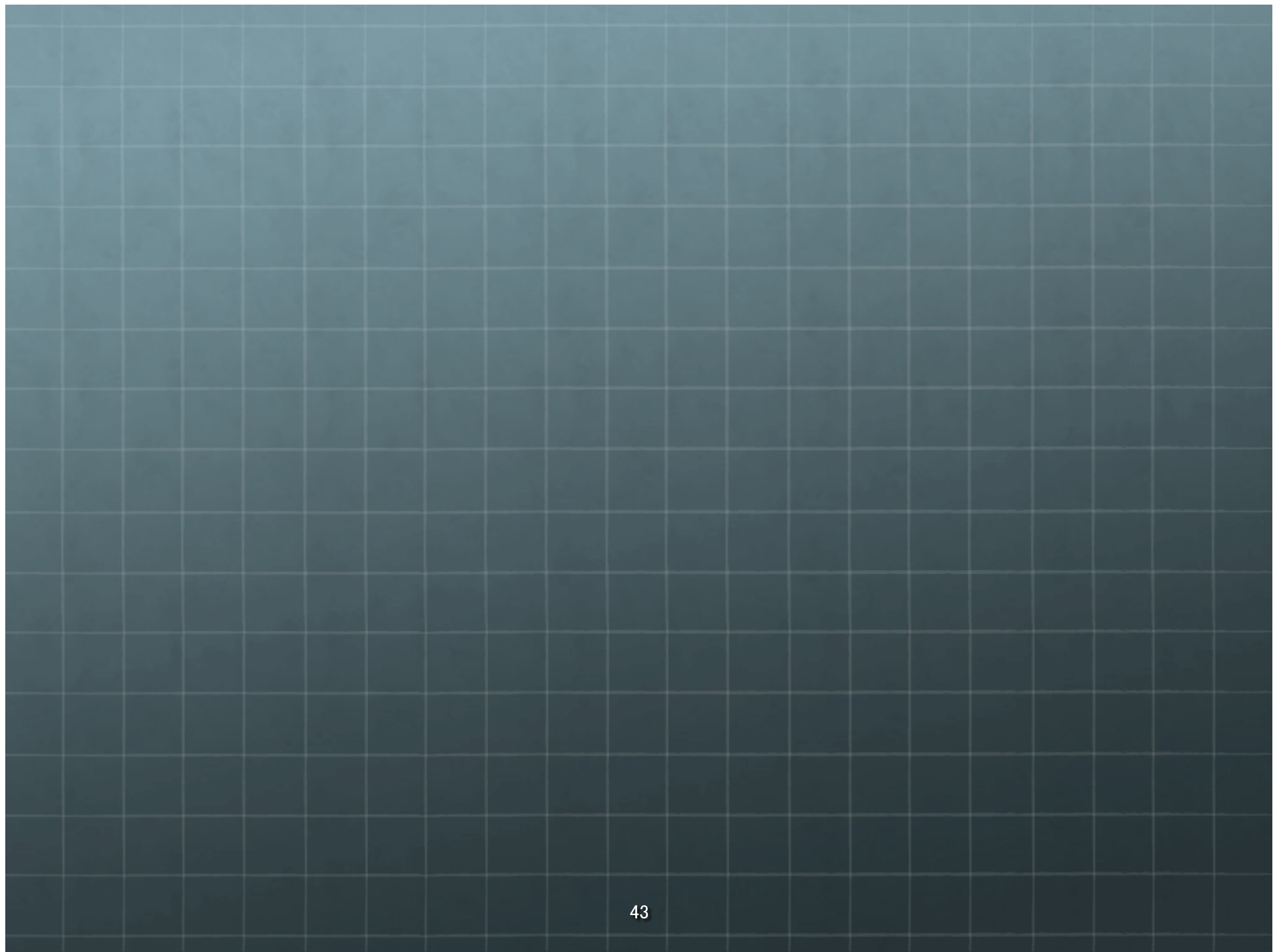
Summary



G.Bertone,
Arxiv.1011.3532



それぞれの実験に、得意不得意がある。合わせ技が必要。



DM local densityの決定

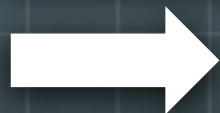
- Catena and Ullio (09): 7/8パラメータ の天の川銀河の模型を定義し、フィットを行う。

$$\Sigma_d, \rho_{bb}(0), R_d, R_0, M_{\text{vir}}, c_{\text{vir}}, \beta$$

DM質量分布はN-bodies inspiredの模型。

$$f_E = \exp \left[-\frac{2}{\alpha_E} (x^{\alpha_E} - 1) \right]$$

$$f_{\text{NFW}} = \frac{1}{x(1+x)^2}$$

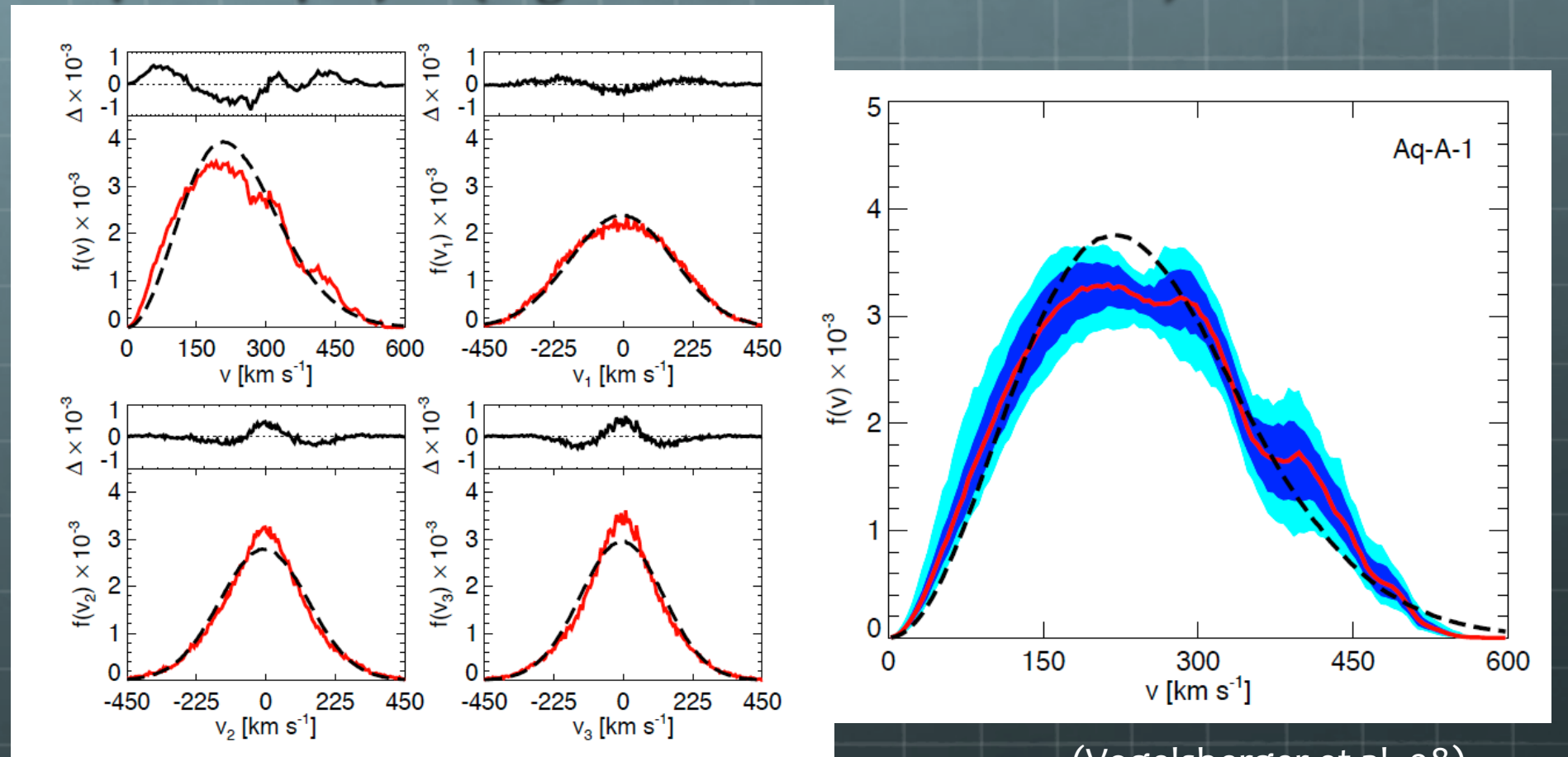


$$\rho_{\text{DM}}(R_0) = 0.385 \pm 0.027 \text{ GeV/cm}^3 \text{ (Einasto)}$$

$$\rho_{\text{DM}}(R_0) = 0.389 \pm 0.025 \text{ GeV/cm}^3 \text{ (NFW)}$$

DM 速度分布の決定

Aquarium project (High-Res. N-bodies simulation)

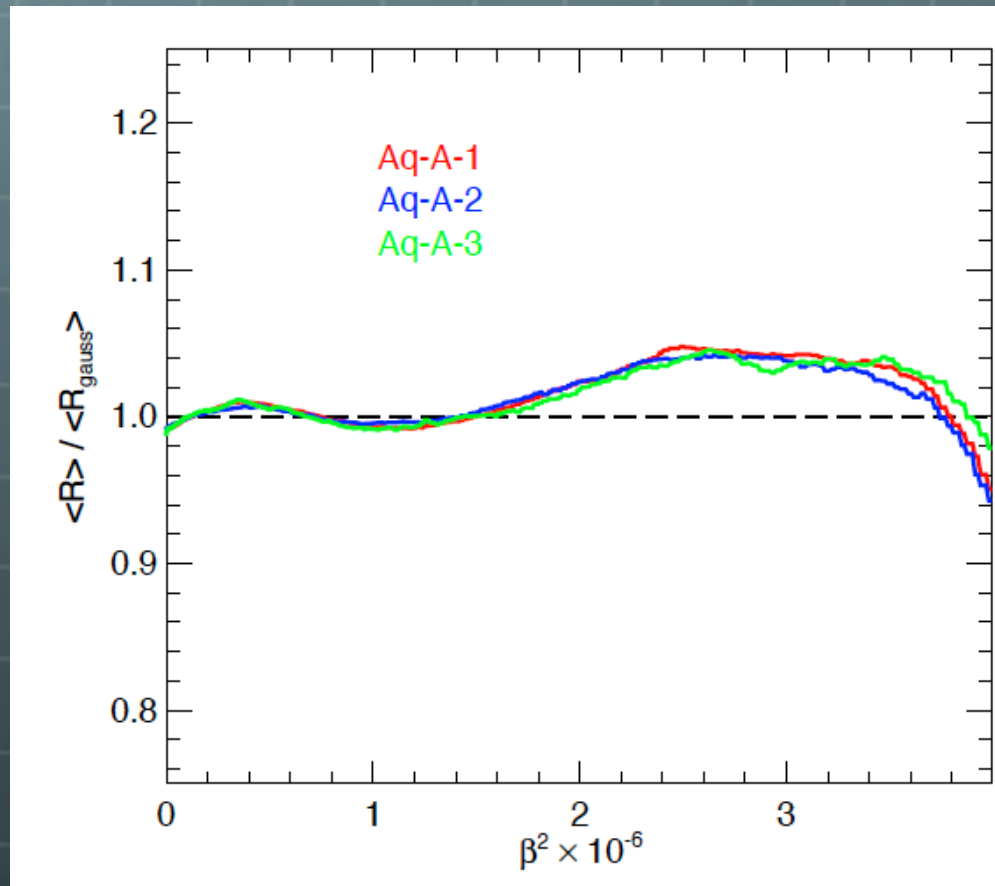


(Vogelsberger et al, 08)

Velocity distribution in 2kpc box at R_0 .

DM 速度分布の決定

Aquarium project (High-Res. N-bodies simulation)



Gaussianとシミュレーションとの反跳エネルギーの比
46

太陽、地球中心からの ニュートリノ

- 太陽、地球中心に蓄積されたWIMPの対消滅からくるニュートリノ。
- 太陽、地球中心のWIMPの数密度(N)と対消滅事象数(Γ_A)。

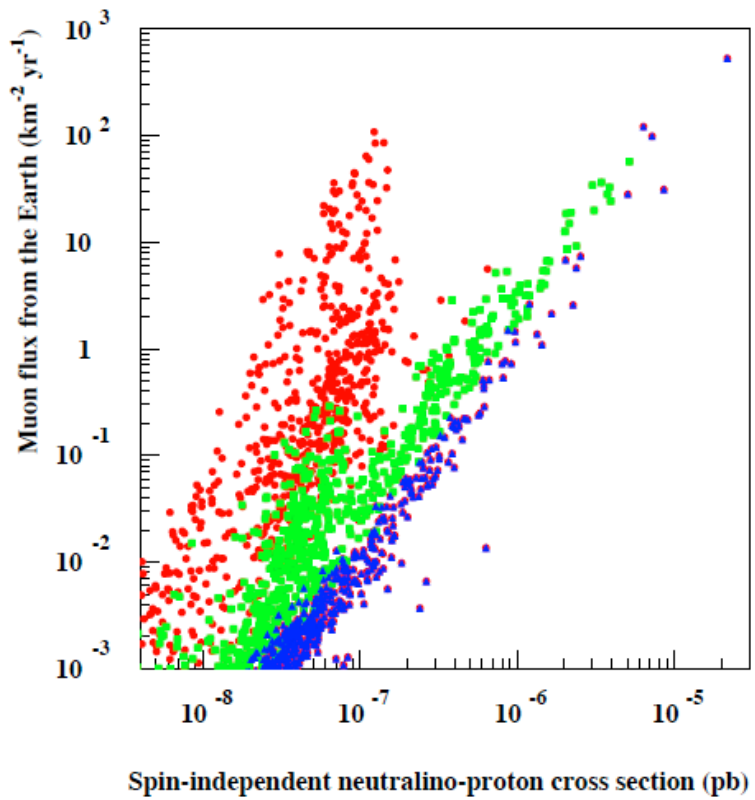
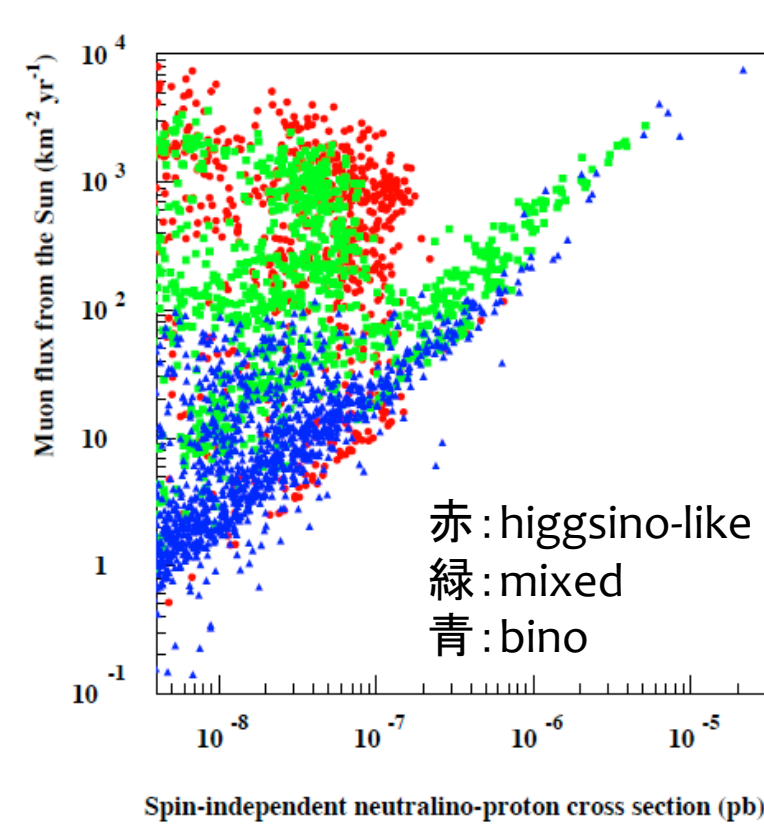
$$\dot{N} = C - AN^2 \quad (\text{第1項は捕獲数、第二項は対消滅事象数})$$

$$\begin{aligned}\Gamma_A &= 1/2AN^2 = (C/2) \tanh^2(\sqrt{CA} t) \\ &\rightarrow (C/2) \quad (\sqrt{CA}t \gg 1)\end{aligned}$$

太陽は平衡状態、地球中心は平衡状態に届かない。

- 太陽の場合 C はSD相互作用、地球はSI相互作用による散乱断面積と相關。

太陽、地球中心からの ニュートリノ



(Bergstrom, 2000)